

EXPLICATION DE LA PLANCHE I

	Pages
FIG. 1 à 3. — <i>Cyathaxonia</i> cf. <i>rushiana</i> Vaughan	34
1. Spécimen légèrement fracturé, moule interne, vu par la base, montrant l'ouverture correspondant à la columelle, $\times 1$.	
1a. Le même, vu de côté, $\times 1$. <i>V3c</i> supérieur, Pl. Bioul 4.	
2. Empreinte longitudinale d'un autre spécimen, $\times 1$. <i>V3c</i> supérieur, Pl. Bioul 5.	
3. Spécimen montrant la columelle, $\times 2$. <i>V3c</i> supérieur, Pl. Bioul 4.	
FIG. 4 et 5. — <i>Zaphrentis</i> cf. <i>enniskilleni</i> Edw. et Haime	36
Sections transversales, $\times 1$.	
4. <i>V3c</i> supérieur, Pl. Bioul 4.	
5 et 5a. <i>V3c</i> supérieur, Pl. Bioul 5.	
FIG. 6 à 11. — <i>Pleurodictyum dechenianum</i> Kayser	38
6. Moule interne, $\times 2$. <i>V3c</i> supérieur, Pl. Bioul 17.	
7. Moule interne, $\times 1$. <i>V3c</i> supérieur, Pl. Bioul 17.	
8. Moule interne, $\times 1$. <i>V3c</i> supérieur, Pl. Bioul 5.	
9. Moule interne, $\times 1$. <i>V3c</i> supérieur, Pl. Bioul 4.	
10. Moule interne, $\times 2$. <i>V3c</i> supérieur, Pl. Bioul 17.	
11. Moule interne, $\times 2$. <i>V3c</i> supérieur, Pl. Bioul 4.	
FIG. 12 et 12a. — <i>Zaphrentis oystermouthensis</i> Vaughan	35
Sections transversales, $\times 1$.	
<i>V3c</i> supérieur, Pl. Bioul 2.	
FIG. 13, 13a, 13b et 14. — <i>Cladochonus bacillarius</i> (Mac Coy)	39
13. Grande colonie, moule interne, $\times 1$.	
13a. Un rameau de la même, $\times 1$.	
13b. Un autre rameau de la même, montrant le canal interne, $\times 2$. <i>V3c</i> supérieur, Pl. Modave 16.	
14. Rameau d'une autre colonie en empreinte et partiellement en contre-empreinte, $\times 2$. <i>V3c</i> supérieur, Pl. Bioul 4.	
FIG. 15. — <i>Cladochonus</i> cf. <i>brevicollis</i> Mac Coy	41
Rameau, $\times 1$. <i>V3c</i> supérieur, Pl. Bioul 5.	
FIG. 16. — <i>Cladochonus</i> sp.	42
Rameau, $\times 1$. <i>V3c</i> supérieur, Pl. Bioul 5.	



1 x 1



1a x 1



2 x 1



3 x 2



4 x 1



5 x 1



5a x 1

Cyathaxonia cf. rushiana Vaughan.

Zaphrentis cf. enniskilleni Edw. et Haime.



6 x 2



7 x 1



8 x 1



9 x 1

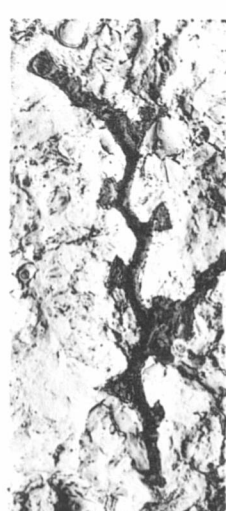


10 x 2



11 x 2

Pleurodictyon dechenianum Kayser.



13a x 1



13b x 3



15 Cladochonus cf. brevicollis Mc. Coy.

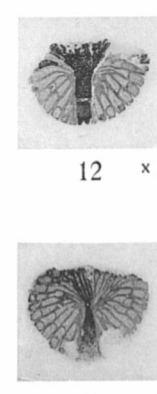


16 x 1

Cladochonus sp.

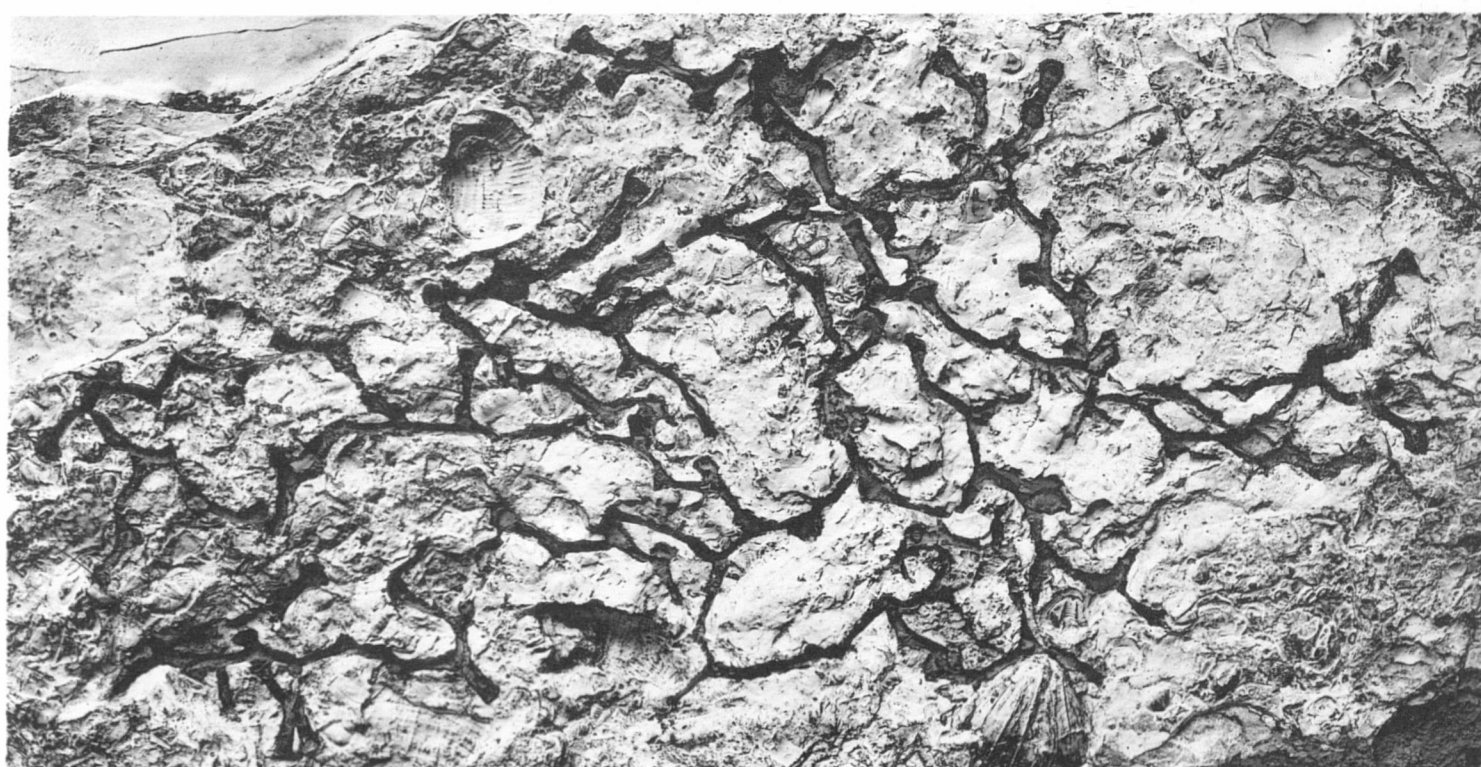


14 x 2



12 x 1

Zaphrentis oystermouthensis Vaughan.



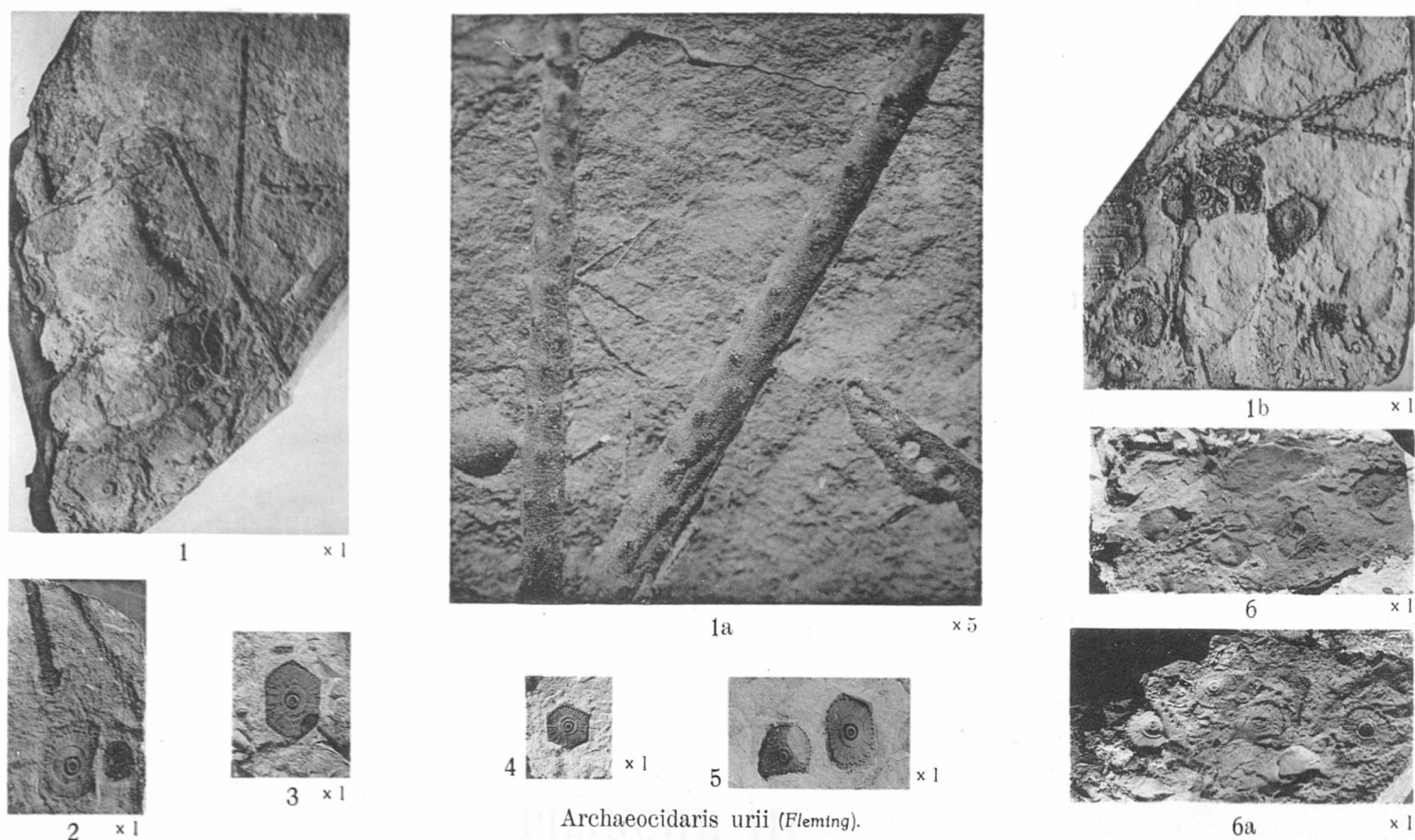
13

x 1

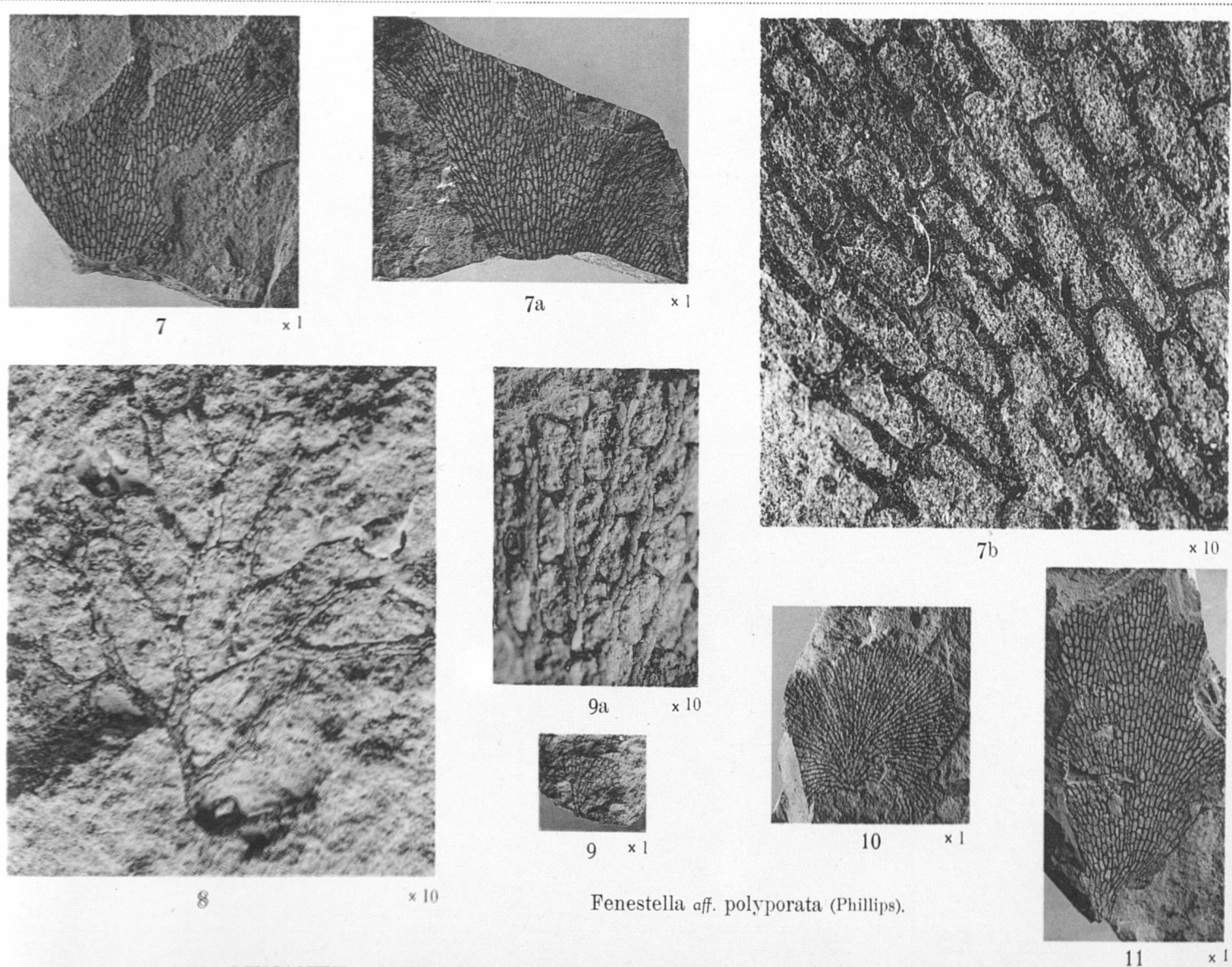
Cladochonus bacillarius (Mc. Coy).

EXPLICATION DE LA PLANCHE II

	Pages
FIG. 1 à 6. — <i>Archaeocidaris urii</i> (Fleming)	42
1. Empreintes de piquants et de plaques interambulacraires et ambulacraires, ×1.	
1a. Portion du même spécimen montrant les spinules sur les piquants et un morceau de plaque ambulacraire, ×5.	
1b. Moulage de 1, ×1. <i>V3c</i> supérieur, Pl. Bioul 4.	
2. Spécimen montrant deux plaques interambulacraires et leurs piquants, ×1. <i>V3c</i> supérieur, Pl. Bioul 5.	
3 et 4. Plaques interambulacraires, ×1. <i>V3c</i> supérieur, Pl. Bioul 5.	
5. Plaques interambulacraires, ×1. <i>V3c</i> supérieur, Pl. Bioul 4.	
6. Spécimen montrant plusieurs plaques interambulacraires et une ambulacraire, ×1.	
6a. Contre-empreinte du même. <i>V3c</i> supérieur, Pl. Bioul 4.	
FIG. 7 à 11. — <i>Fenestella</i> aff. <i>polyporata</i> (Phillips)	44
7. Colonie, empreinte de la face cellulifère, ×1.	
7a. Empreinte de la face non cellulifère, ×1.	
7b. Agrandissement d'une partie de 7, ×10. <i>V3c</i> supérieur, Pl. Bioul 5.	
8. Colonie, moule interne montrant le remplissage des zoécies, ×10. <i>V3c</i> supérieur, Pl. Bioul 4.	
9. Petite colonie, ×1. 9a. La même, ×10. <i>V3c</i> supérieur, Pl. Clavier 10.	
10. Autre colonie, empreinte de la face cellulifère, ×1. <i>V3c</i> supérieur, Pl. Bioul 4.	
11. Autre colonie, empreinte de la face non cellulifère, ×1. <i>V3c</i> supérieur, Pl. Bioul 5.	



Archaeocidaris urii (Fleming).

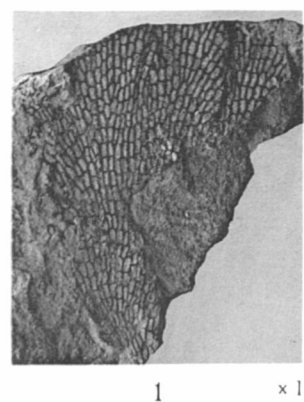


Fenestella aff. polyoporata (Phillips).

F. DEMANET. — Faune des couches de passage du Dinantien au Namurien.

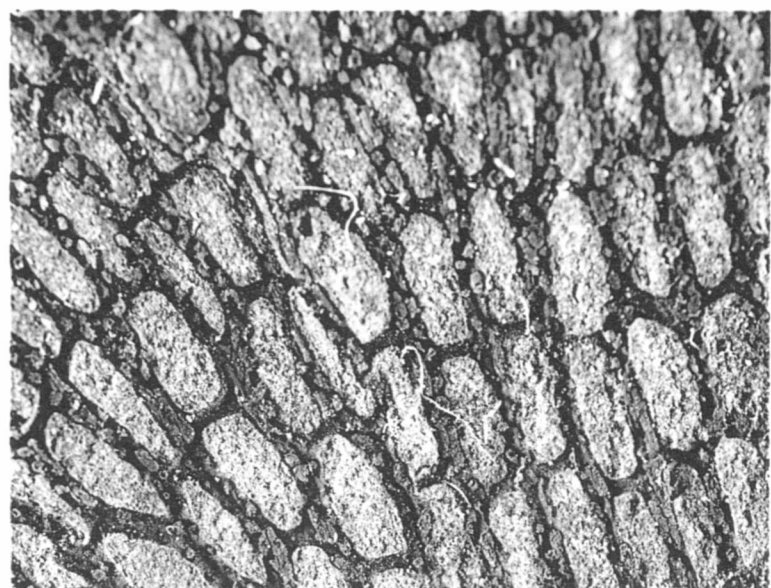
EXPLICATION DE LA PLANCHE III

	Pages
FIG. 1 et 1a. — <i>Fenestella</i> aff. <i>polyporata</i> (Phillips)	44
1. Colonie, moulage de la face cellulifère, ×1.	
1a. La même, montrant les zoécies, ×10.	
<i>V3c</i> supérieur, Pl. Bioul 5.	
FIG. 2 à 9. — <i>Fenestella variabilis</i> nov. sp.	45
2. Colonie fragmentaire, face non cellulifère, ×1.	
<i>V3c</i> inférieur, Pl. Bioul 2.	
3. Colonie fragmentaire, face cellulifère, ×1.	
<i>V3c</i> inférieur, Pl. Yvoir 2657.	
4. Grande colonie, face non cellulifère, ×1.	
<i>V3c</i> inférieur, Pl. Bioul 1.	
5. Fragment de colonie, montrant partiellement les zoécies, ×10.	
<i>V3c</i> inférieur, Pl. Yvoir 2657.	
6. Fragment de colonie, face cellulifère, ×1.	
6a. Partie de la même, montrant les zoécies, ×10.	
<i>V3c</i> inférieur, Pl. Bioul 2.	
7. Fragment de colonie, empreinte de la face cellulifère, ×1.	
7a. Une partie de la même, montrant les zoécies, ×10.	
<i>V3c</i> inférieur, Pl. Bioul 1.	
8. Fragment de colonie, face cellulifère, ×1.	
8a. Une partie de la même, montrant les zoécies, ×10.	
<i>V3c</i> inférieur, Pl. Yvoir 2657.	
9. Autre colonie, face cellulifère, ×1.	
9a. Une partie de la même, montrant les zoécies, ×10.	
<i>V3c</i> inférieur, Pl. Bioul 2.	

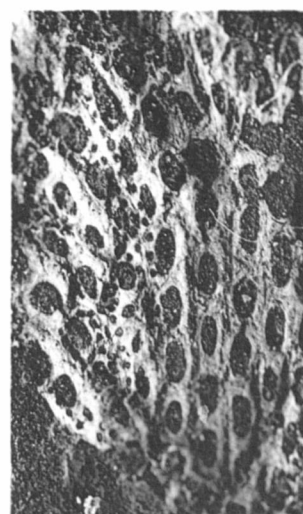


1 x 1

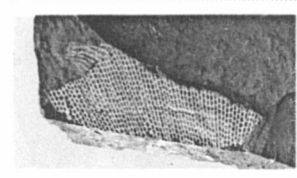
Fenestella aff.
polyoporata (Phillips).



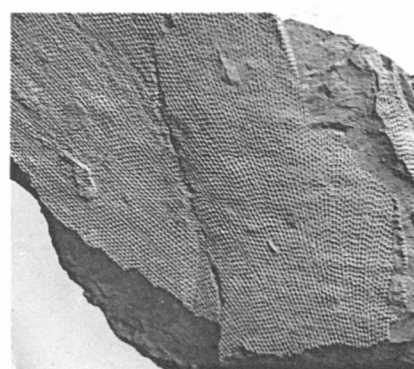
1a x 10



5 x 10



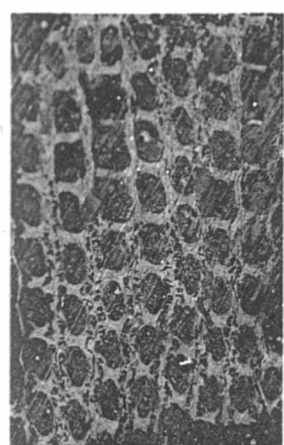
2 x 1



4 x 1



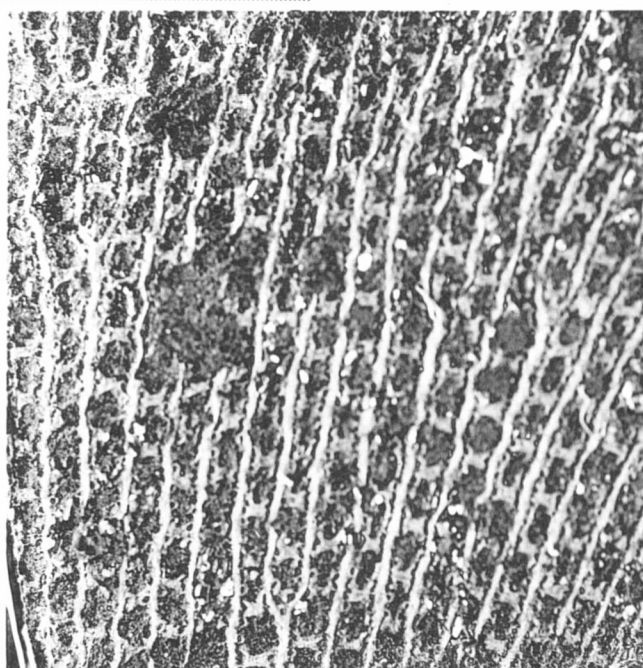
3 x 1



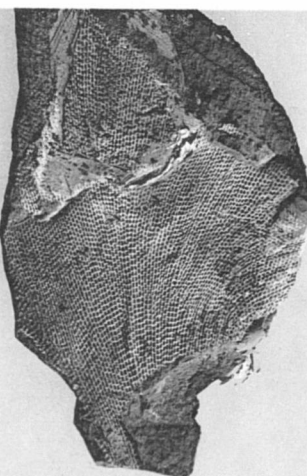
6a x 10



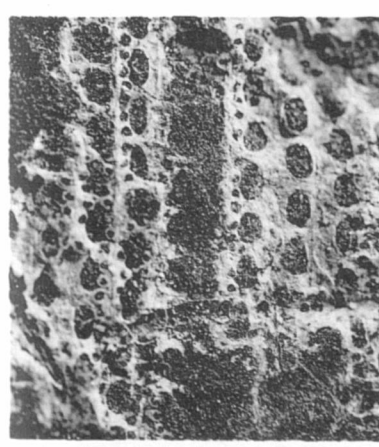
6 x 1



7a x 10



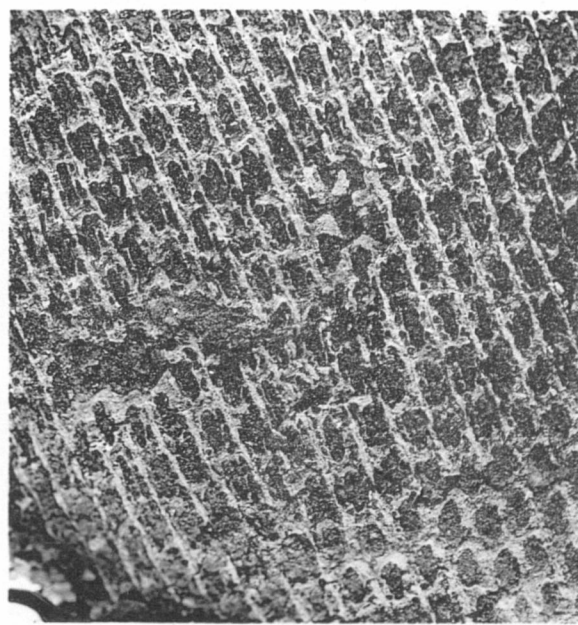
7 x 1



8a x 10



8 x 1



9a x 10

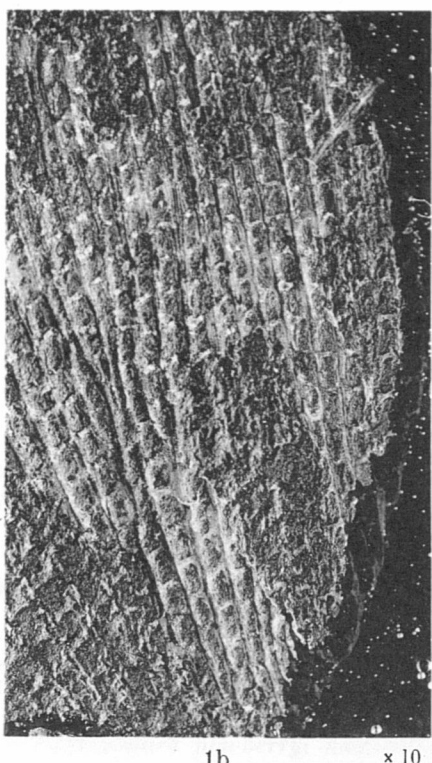
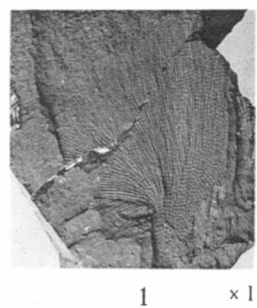
Fenestella variabilis nov. sp.

F. DEMANET. — Faune des couches de passage du Dinantien au Namurien.

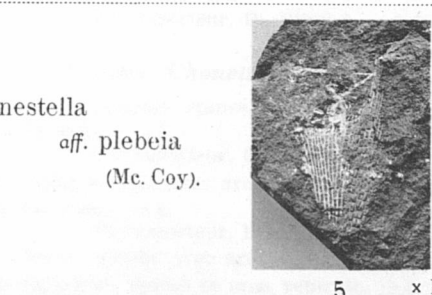
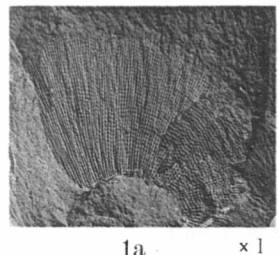
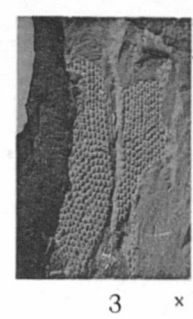
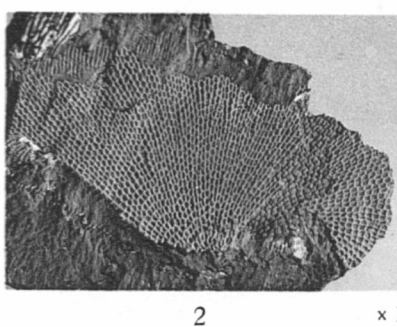
EXPLICATION DE LA PLANCHE IV

Pages.

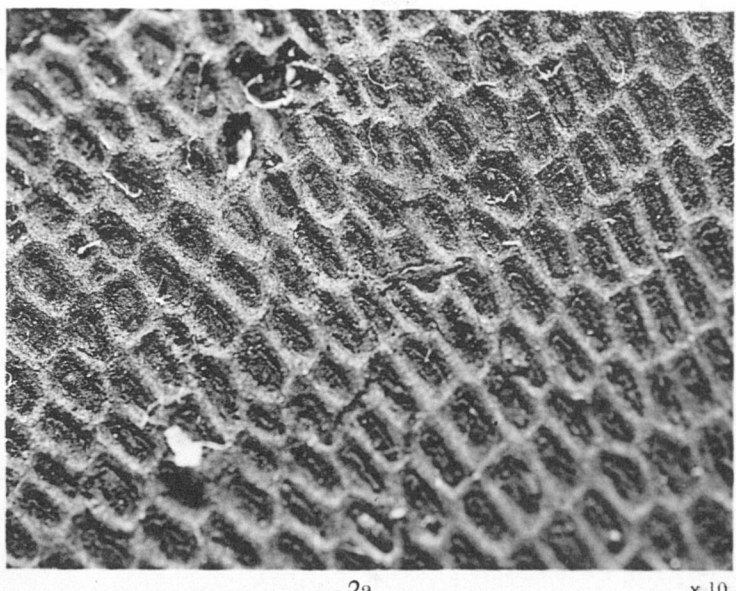
<p>FIG. 1, 1a et 1b. — <i>Fenestella tenuissima</i> nov. sp.</p> <p>1. Empreinte de la face non cellulifère, $\times 1$.</p> <p>1a. Face non cellulifère, $\times 1$.</p> <p>1b. Partie décortiquée de 1a, montrant, en certains endroits, les zoécies de la face cellulifère et, en d'autres, les stries de la face non cellulifère, $\times 10$.</p> <p style="text-align: center;"><i>V3c</i> inférieur, Pl. Bioul 1.</p> <p>FIG. 2, 2a et 3. — <i>Fenestella dorsonodulosa</i> nov. sp.</p> <p>2. Face non cellulifère, $\times 1$.</p> <p>2a. Une partie de la même, montrant les nodosités, $\times 10$.</p> <p style="text-align: center;"><i>V3c</i> inférieur, Pl. Bioul 1.</p> <p>3. Face non cellulifère, $\times 1$.</p> <p style="text-align: center;"><i>V3c</i> inférieur, Pl. Bioul 1.</p> <p>FIG. 4 et 5. — <i>Fenestella</i> aff. <i>plebeia</i> (Mac Coy)</p> <p>4. Empreinte de la face non cellulifère, $\times 1$.</p> <p style="text-align: center;"><i>V3c</i> inférieur, Pl. Bioul 2.</p> <p>5. Colonie montrant, à gauche, la face cellulifère et, à droite, l'empreinte de l'autre face, $\times 1$.</p> <p style="text-align: center;"><i>V3c</i> inférieur, Pl. Bioul 2.</p> <p>FIG. 6 et 7. — <i>Pinnatopora</i> cf. <i>pulcherrima</i> (Mac Coy)</p> <p>6. Exemplaire montrant les zoécies, $\times 10$.</p> <p style="text-align: center;"><i>V3c</i> supérieur, Pl. Bioul 4.</p> <p>7. Exemplaire complexe, $\times 1$.</p> <p style="text-align: center;"><i>V3c</i> supérieur, Pl. Bioul 5.</p> <p>FIG. 8 à 12. — <i>Rhabdomeson gracile</i> (Phillips)</p> <p>8. Exemplaire garni de tubercles, $\times 10$.</p> <p style="text-align: center;"><i>V3c</i> inférieur, Pl. Bioul 1.</p> <p>9. Exemplaire obscur, douteux, $\times 10$.</p> <p style="text-align: center;"><i>V3c</i> inférieur, Pl. Bioul 1.</p> <p>10. Spécimen brisé longitudinalement montrant le canal interne, $\times 10$.</p> <p style="text-align: center;"><i>V3c</i> inférieur, Pl. Yvoir 2657.</p> <p>11. Spécimen dégagé montrant les séries d'ouvertures, $\times 10$.</p> <p style="text-align: center;"><i>V3c</i> inférieur, Pl. Bioul 1.</p> <p>12. Plaque montrant un spécimen à plat et une coupe transversale avec le canal central, $\times 10$.</p> <p style="text-align: center;"><i>V3c</i> inférieur, Pl. Bioul 2.</p> <p>FIG. 13. — <i>Rhabdomeson rhombiferum</i> (Phillips)</p> <p>Plaque montrant, à gauche, <i>Rh. rhombiferum</i> et, à droite, <i>Rh. gracile</i>, $\times 10$.</p> <p style="text-align: center;"><i>V3c</i> inférieur, Pl. Bioul 1.</p>	<p style="margin-bottom: 10px;">47</p> <p style="margin-bottom: 10px;">48</p> <p style="margin-bottom: 10px;">48</p> <p style="margin-bottom: 10px;">49</p> <p style="margin-bottom: 10px;">51</p> <p style="margin-bottom: 10px;">52</p>
--	---



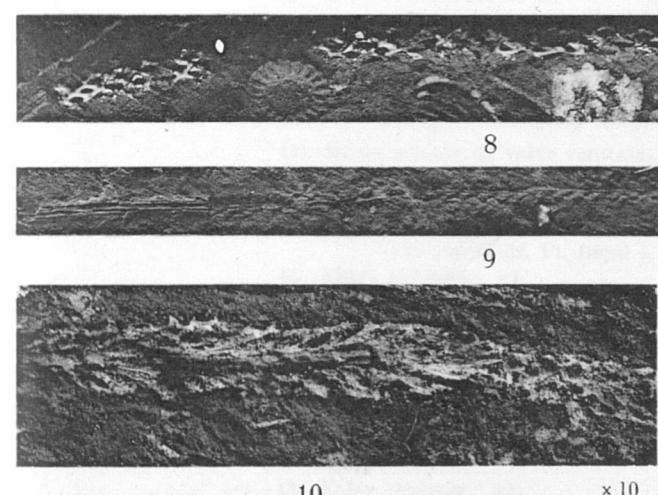
Fenestella
tenuissima
nov. sp.



Fenestella
aff. plebeia
(Mc. Coy).



Fenestella dorsonodulosa nov. sp.



Rhabdomeson gracile (Phillips).



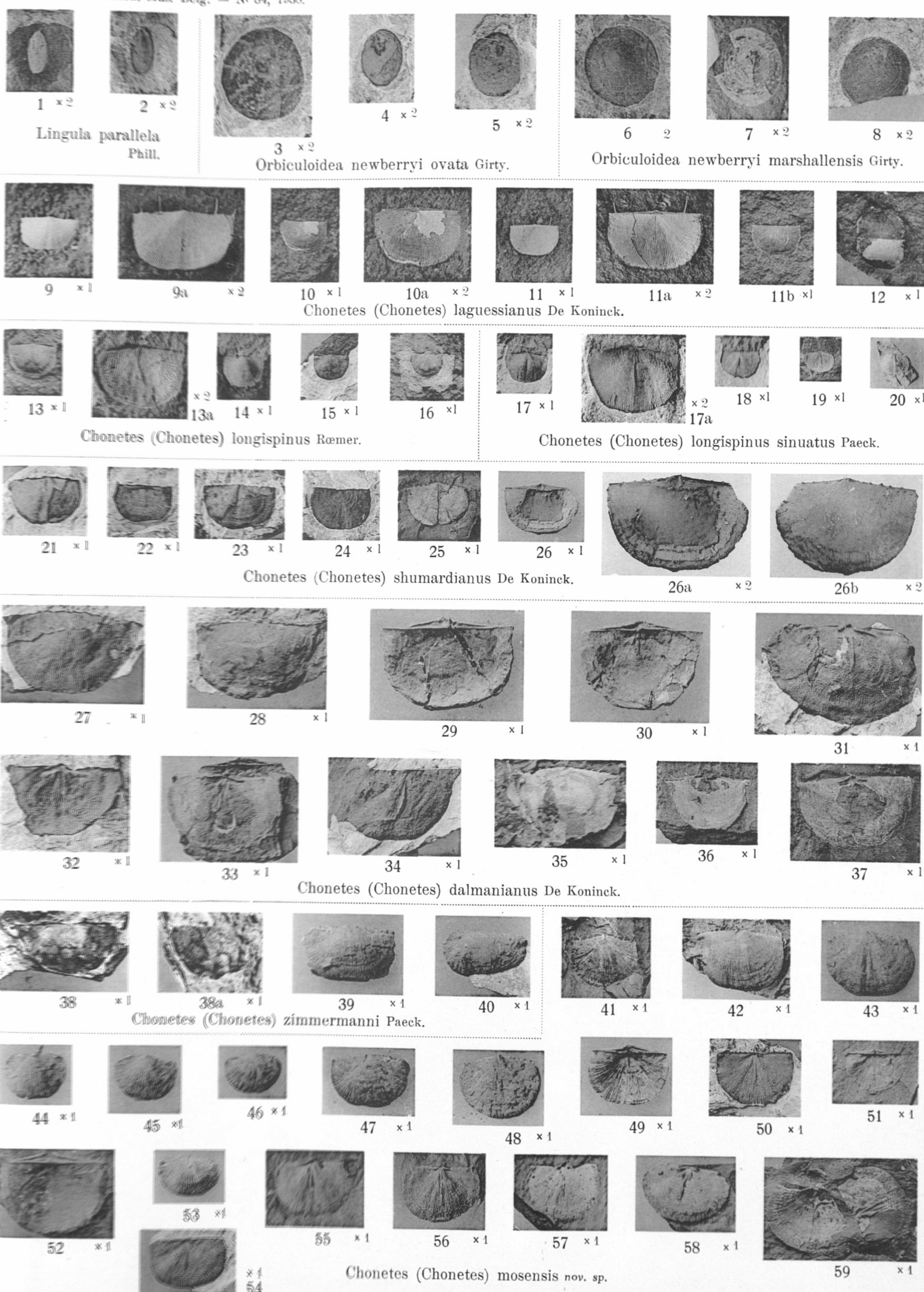
Pinnatopora
cf. pulcherrima
(Mc. Coy).

PLANCHE V

EXPLICATION DE LA PLANCHE V

	Pages
FIG. 1 et 2. — <i>Lingula parallela</i> Phillips	54
Moules internes montrant la base du muscle pédonculaire, $\times 2$	
1. <i>V3c</i> supérieur, Pl. Bioul 4.	
2. <i>V3c</i> supérieur, Pl. Bioul 17.	
FIG. 3 à 5. — <i>Orbiculoides newberryi ovata</i> Girty	55
3. Valve dorsale, assez aplatie, $\times 2$.	
<i>V3c</i> supérieur, Pl. Bioul 2.	
4 et 5. Face interne de valves ventrales montrant le canal interne, $\times 2$.	
4. <i>V3c</i> supérieur, Pl. Bioul 5.	
5. <i>V3c</i> supérieur, Pl. Bioul 2.	
FIG. 6 à 8. — <i>Orbiculoides newberryi marshallensis</i> Girty	56
Valves dorsales, $\times 2$.	
<i>V3c</i> supérieur, Pl. Bioul 2.	
FIG. 9 à 12. — <i>Chonetes (Chonetes) laguessianus</i> De Koninck	59
9. Valve ventrale, épines, $\times 1$.	
9a. La même, $\times 2$.	
<i>V3c</i> supérieur, Pl. Bioul 2.	
10. Valve dorsale avec area ventrale, $\times 1$.	
10a. La même, $\times 2$.	
<i>V3c</i> supérieur, Pl. Bioul 2.	
11. Valve dorsale avec area ventrale, $\times 1$.	
11a. La même, épines et area ventrale, $\times 2$.	
11b. Contre-empreinte de 11.	
<i>V3c</i> supérieur, Pl. Bioul 2.	
12. Exemplaire bivalve, $\times 1$.	
<i>V3c</i> supérieur, Pl. Bioul 2.	
FIG. 13 à 16. — <i>Chonetes (Chonetes) longispinus</i> Roemer	61
13. Moule interne de valve ventrale, $\times 1$.	
13a. Le même, $\times 2$.	
<i>V3c</i> supérieur, Pl. Bioul 4.	
14. Valve ventrale, $\times 1$.	
<i>V3c</i> supérieur, Pl. Bioul 4.	
15. Valve ventrale, $\times 1$.	
<i>V3c</i> inférieur, Pl. Bioul 1.	
16. Valve ventrale, $\times 1$.	
<i>V3c</i> supérieur, Pl. Bioul 4.	
FIG. 17 à 20. — <i>Chonetes (Chonetes) longispinus sinuatus</i> Paeckelmann	61
17. Valve ventrale, moule interne, $\times 1$.	
17a. La même, $\times 2$.	
18. Valve ventrale, $\times 1$.	
19. Valve dorsale, face interne, $\times 1$.	
20. Valve dorsale, face interne, $\times 1$.	
17 à 20. <i>V3c</i> supérieur, Pl. Bioul 4.	

FIG. 21 à 26. — <i>Chonetes (Chonetes) shumardianus</i> De Koninck	62
21. Valve ventrale, $\times 1$.	
22. Valve dorsale, $\times 1$.	
23. Valve ventrale, $\times 1$.	
24. Valve dorsale, $\times 1$.	
25. Valve ventrale, $\times 1$.	
26. Individu complet, vu par la face dorsale.	
26a. Le même, $\times 2$.	
26b. Le même, valve ventrale, $\times 2$.	
21 à 26. <i>V3c</i> inférieur, Pl. Yvoir 2657.	
FIG. 27 à 37. — <i>Chonetes (Chonetes) dalmanianus</i> De Koninck	63
27 et 28. Valves ventrales, $\times 1$.	
<i>V3c</i> inférieur, Pl. Bioul 1.	
29 et 30. Échantillons complets, $\times 1$.	
<i>V3c</i> inférieur, Pl. Bioul 2.	
31. Face interne de valve dorsale montrant l'ornementation, $\times 1$.	
<i>V3c</i> inférieur, Pl. Bioul 1.	
32. Face interne de valve ventrale, $\times 1$.	
<i>V3c</i> inférieur, Pl. Bioul 1.	
33 et 34. Faces internes de valves dorsales, $\times 1$.	
<i>V3c</i> inférieur, Pl. Bioul 1.	
35. Echantillon fragmentaire montrant les épines cardinales sur un reste de valve ventrale et la face interne de la valve dorsale, $\times 1$.	
<i>V3c</i> inférieur, Pl. Yvoir 2657.	
36. Face interne de valve ventrale, $\times 1$.	
<i>V3c</i> inférieur, Pl. Bioul 2.	
37. Face interne de valve dorsale, $\times 1$.	
<i>V3c</i> inférieur, Pl. Bioul 1.	
FIG. 38 à 40. — <i>Chonetes (Chonetes) zimmermanni</i> Paeckelmann	63
38. Valve ventrale, $\times 1$.	
38a. Empreinte externe de la même, $\times 1$.	
<i>V3c</i> supérieur, Pl. Bioul 17.	
39. Valve ventrale, $\times 1$.	
<i>V3c</i> inférieur, Pl. Bioul 2.	
40. Valve ventrale, $\times 1$.	
<i>V3c</i> inférieur, Pl. Bioul 1.	
FIG. 41 à 59. — <i>Chonetes (Chonetes) mosensis</i> nov. sp.	64
41 et 42. Valves ventrales, $\times 1$.	
<i>V3c</i> inférieur, Pl. Bioul 1.	
43 à 49. Valves ventrales, $\times 1$.	
<i>V3c</i> inférieur, Pl. Yvoir 2657.	
50. Face interne de valve dorsale, $\times 1$.	
<i>V3c</i> inférieur, Pl. Bioul 2.	
51. Individu complet, vu par la valve dorsale et montrant l'area, $\times 1$.	
<i>V3c</i> inférieur, Pl. Bioul 1.	
52. Individu complet, valve dorsale, area, $\times 1$.	
<i>V3c</i> inférieur, Pl. Bioul 2.	
53. Individu complet, valve dorsale, area, $\times 1$.	
<i>V3c</i> inférieur, Pl. Yvoir 2657.	
54 et 55. Faces internes de valves dorsales, $\times 1$.	
<i>V3c</i> inférieur, Pl. Bioul 1.	
56. Face interne de valve dorsale, $\times 1$.	
<i>V3c</i> inférieur, Pl. Bioul 2.	
57 et 58. Faces internes de valves dorsales, $\times 1$.	
<i>V3c</i> inférieur, Pl. Bioul 1.	
59. Faces internes de valve ventrale et de valve dorsale, $\times 1$.	
<i>V3c</i> inférieur, Pl. Bioul 1.	

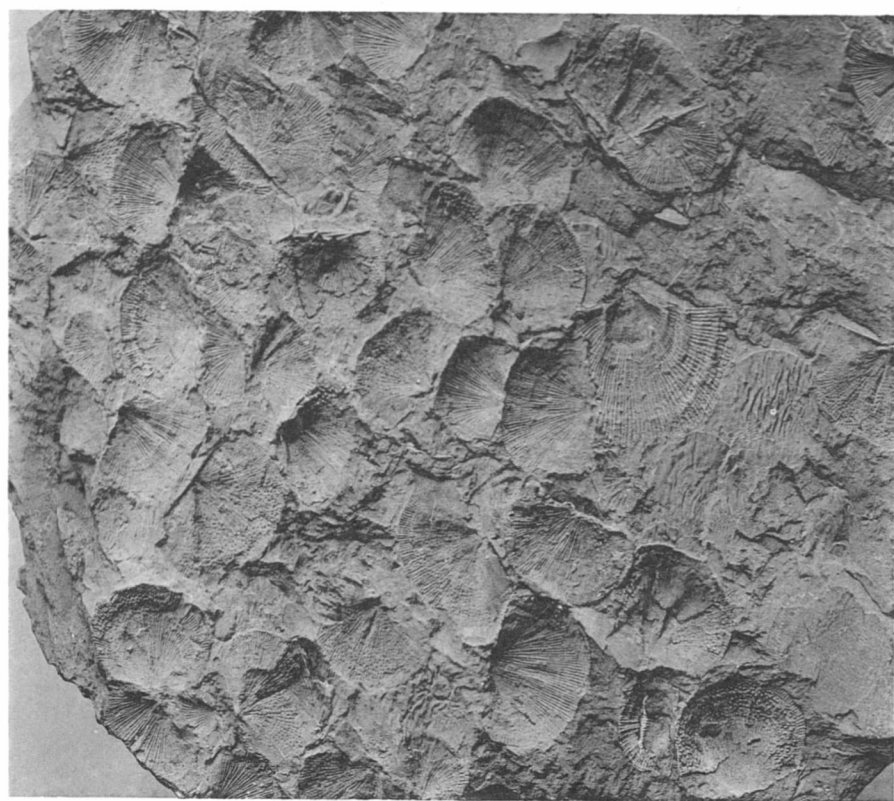


F. DEMANET. — Faune des couches de passage du Dinantien au Namurien.

EXPLICATION DE LA PLANCHE VI

Pages

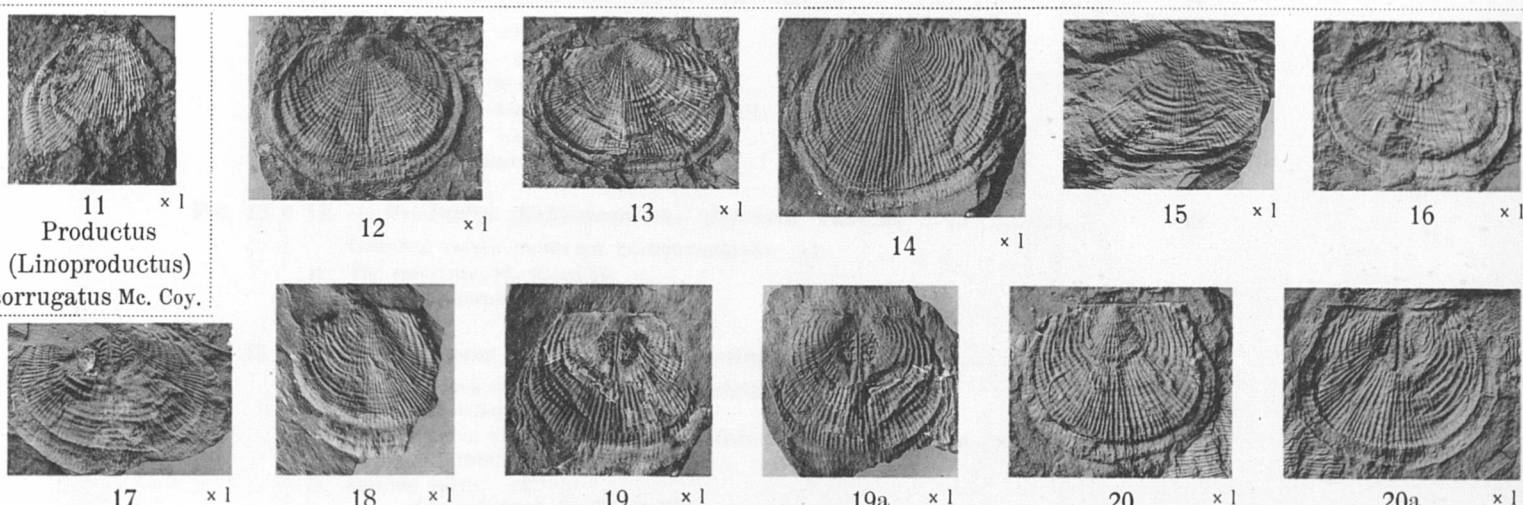
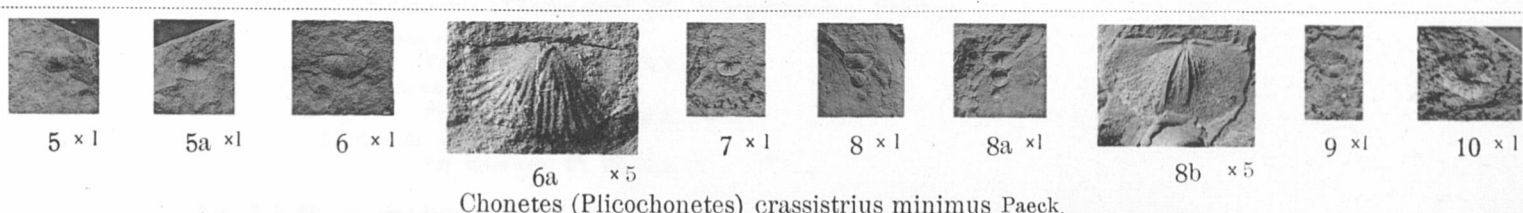
<p>FIG. 1 et 2. — <i>Chonetes (Chonetes) mosensis</i> nov. sp.</p> <p>1. Plaque couverte de nombreux spécimens juxtaposés, $\times 1$.</p> <p>2. Petite plaque avec divers spécimens, $\times 1$.</p> <p>1 et 2. <i>V3c</i> inférieur, Pl. Bioul 1.</p> <p>FIG. 3 et 4. — <i>Chonetes (Semenewia) concentricus tornquisti</i> Paeckelmann... 65</p> <p>3. Valve ventrale, $\times 5$.</p> <p><i>V3c</i> supérieur, Pl. Bioul 2.</p> <p>4. Valve ventrale, empreinte externe, $\times 5$.</p> <p><i>V3c</i> supérieur, Pl. Bioul 4.</p> <p>FIG. 5 à 10. — <i>Chonetes (Plicochonetes) crassistrius minimus</i> Paeckelmann... 66</p> <p>5. Moule interne de valve ventrale, $\times 1$.</p> <p>5a. Empreinte externe de la même, $\times 1$.</p> <p><i>V3c</i> supérieur, Pl. Bioul 4.</p> <p>6. Valve ventrale, $\times 1$.</p> <p>6a. La même, $\times 5$.</p> <p><i>V3c</i> supérieur, Pl. Bioul 4.</p> <p>7. Valve ventrale, face interne, $\times 1$.</p> <p><i>V3c</i> supérieur, Pl. Bioul 4.</p> <p>8. Valve dorsale, moule interne, $\times 1$.</p> <p>8a. La même, face interne, $\times 1$.</p> <p>8b. La même, $\times 5$.</p> <p><i>V3c</i> supérieur, Pl. Bioul 4.</p> <p>9 et 10. Valves ventrales, $\times 1$.</p> <p><i>V3c</i> supérieur, Pl. Bioul 4.</p> <p>FIG. 11. — <i>Productus (Linoproductus) corrugatus</i> Mac Coy 68</p> <p>Grande valve écrasée, $\times 1$.</p> <p><i>V3c</i> inférieur, Pl. Yvoir 2657.</p> <p>FIG. 12 à 20. — <i>Productus (Dictyoclostus) muir-woodi</i> Paeckelmann 69</p> <p>12. Grande valve, $\times 1$.</p> <p><i>V3c</i> inférieur, Pl. Bioul 1.</p> <p>13. Face interne de grande valve, $\times 1$.</p> <p><i>V3c</i> inférieur, Pl. Bioul 1.</p> <p>14 et 15. Grandes valves, $\times 1$.</p> <p><i>V3c</i> inférieur, Pl. Bioul 1.</p> <p>16. Face interne de petite valve, $\times 1$.</p> <p><i>V3c</i> inférieur, Pl. Bioul 1.</p> <p>17. Face interne de petite valve, $\times 1$.</p> <p><i>V3c</i> inférieur, Pl. Bioul 2.</p> <p>18. Grande valve, $\times 1$.</p> <p><i>V3c</i> inférieur, Pl. Bioul 1.</p> <p>19. Face interne de petite valve, $\times 1$.</p> <p>19a. Moule interne de la même, $\times 1$.</p> <p><i>V3c</i> inférieur, Pl. Bioul 5.</p> <p>20. Face externe de petite valve, $\times 1$.</p> <p>20a. Moule interne de la même, $\times 1$.</p> <p><i>V3c</i> inférieur, Pl. Bioul 1.</p> <p>FIG. 21 à 23. — <i>Productus (Dictyoclostus) pugilis</i> (Phillips) 70</p> <p>21. Partie frontale de grande valve, $\times 1$.</p> <p><i>V3c</i> inférieur, Pl. Bioul 16.</p> <p>22. Disque viscéral de grande valve, $\times 1$.</p> <p><i>V3c</i> inférieur, Pl. Bioul 2.</p> <p>23. Partie frontale de grande valve, $\times 1$.</p> <p><i>V3c</i> inférieur, Pl. Bioul 1.</p>	<p>64</p> <p>65</p> <p>66</p> <p>68</p> <p>69</p> <p>70</p>
---	---



Chonetes (Chonetes) mosenensis nov. sp.



Chonetes (Semenewia) concentricus tornquisti Paeck.



Productus (Dictyoclostus) muir-woodi Paeck.

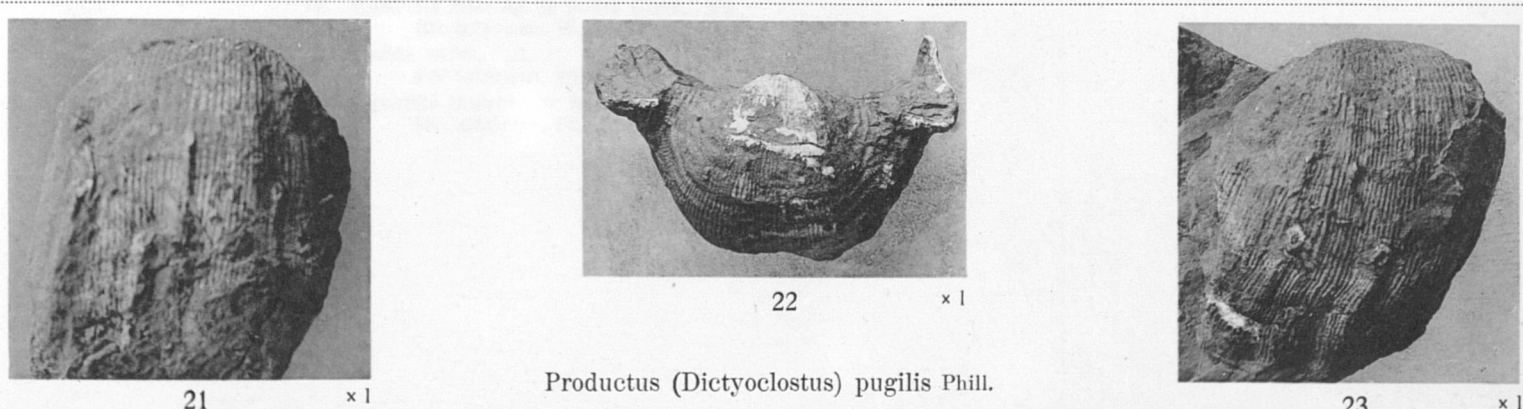


PLANCHE VII

EXPLICATION DE LA PLANCHE VII

Pages

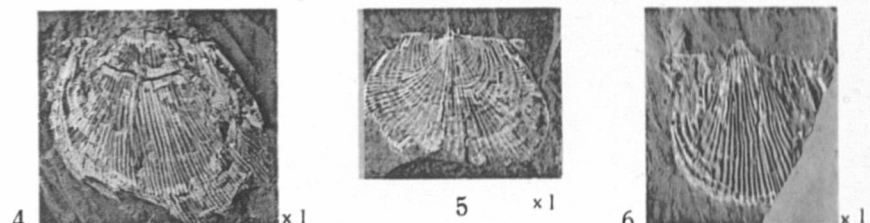
FIG. 1 à 3. — <i>Productus (Dictyoclostus) cf. sulcatus</i> Sowerby	70
Grandes valves, $\times 1$. <i>V3c</i> inférieur, Pl. Bioul 1.	
FIG. 4 à 6. — <i>Productus (Thomasina) aff. margaritaceus</i> Phillips	72
4. Grande valve aplatie, $\times 1$. <i>V3c</i> inférieur, Pl. Bioul 2.	
5. Petite valve, $\times 1$. <i>V3c</i> inférieur, Pl. Bioul 5.	
6. Grande valve aplatie, $\times 1$. <i>V3c</i> inférieur, Pl. Bioul 1.	
FIG. 7 à 11. — <i>Productus (Buxtonia) scabriculus</i> Martin	71
7. Petite valve, $\times 1$.	
8. Grande valve, $\times 1$.	
9. Petite valve, moule interne, $\times 1$.	
10. Grande valve avec épines enroulées, $\times 1$.	
11. Petite valve, $\times 1$.	
7 à 11. <i>V3c</i> inférieur, Pl. Bioul 1.	
FIG. 12 à 14. — <i>Productus (Echinocanchus) defensus</i> Thomas	73
Grandes valves montrant l'ornementation, $\times 1$.	
12. <i>V3c</i> inférieur, Pl. Bioul 16.	
13 et 14. <i>V3c</i> inférieur, Pl. Bioul 2.	
FIG. 15 à 21. — <i>Productus (Eomarginifera) tissingtonensis</i> Sibly	74
15. Grande valve montrant la pointe marginale, $\times 1$. <i>V3c</i> inférieur, Pl. Bioul 2.	
16. Grande valve montrant deux épines caractéristiques du genre, $\times 1$. <i>V3c</i> inférieur, Pl. Yvoir 2657.	
17. Grande valve, $\times 1$. <i>V3c</i> inférieur, Pl. Yvoir 2657.	
18. Appareils internes de grande valve, $\times 2$. <i>V3c</i> inférieur, Pl. Bioul 1.	
19. Appareils internes de petite valve, $\times 2$. <i>V3c</i> inférieur, Pl. Bioul 1.	
20. Grande valve, $\times 1$. <i>V3c</i> inférieur, Pl. Bioul 2.	
21. Appareils internes de la grande valve, $\times 1$. <i>V3c</i> inférieur, Pl. Bioul 1.	

TABLE DES MATIÈRES

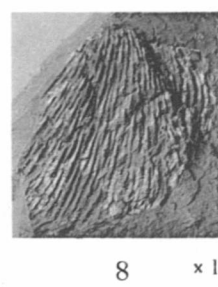
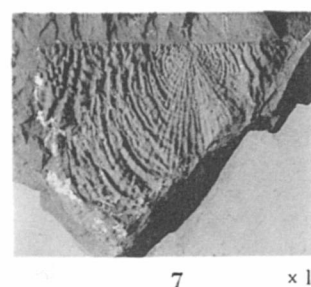
FIG. 22 à 25. — <i>Productus (Eomarginifera) setosus</i> Phillips	74
Grandes valves, $\times 1$.	
22. $V3c$ inférieur, Pl. Yvoir 2657.	
23. $V3c$ inférieur, Pl. Bioul 2.	
24 et 25. $V3c$ inférieur, Pl. Bioul 1.	
FIG. 26 à 28. — <i>Productus (Eomarginifera) sudeticus</i> Paeckelmann	75
Grandes valves, $\times 1$.	
$V3c$ inférieur, Pl. Yvoir 2657.	
FIG. 29 à 31. — <i>Productus (Eomarginifera) frechi</i> Paeckelmann	76
29. Petite valve, $\times 1$.	
$V3c$ supérieur, Pl. Bioul 4.	
30. Grande valve, $\times 1$.	
$V3c$ supérieur, Pl. Bioul 4.	
31. Grande valve, $\times 1$.	
31a. Contre-empreinte de la même, $\times 1$.	
$V3c$ supérieur, Pl. Bioul 17.	
FIG. 32 à 34. — <i>Productus (Eomarginifera) frechi peracutus</i> nov. var.	77
32. Grande et petite valves, $\times 1$.	
$V3c$ supérieur, Pl. Bioul 4.	
33 et 33a. Grande valve, empreinte et contre-empreinte, $\times 1$.	
$V3c$ supérieur, Pl. Bioul 4.	
34. Grande valve, $\times 1$.	
$V3c$ supérieur, Pl. Bioul 4.	
FIG. 35 et 36. — <i>Productus (Krotovia) spinulosus</i> Sowerby	78
Grandes valves, $\times 2$.	
$V3c$ supérieur, Pl. Bioul 16.	



Productus (Dictyoclostus) cf. sulcatus Sow.



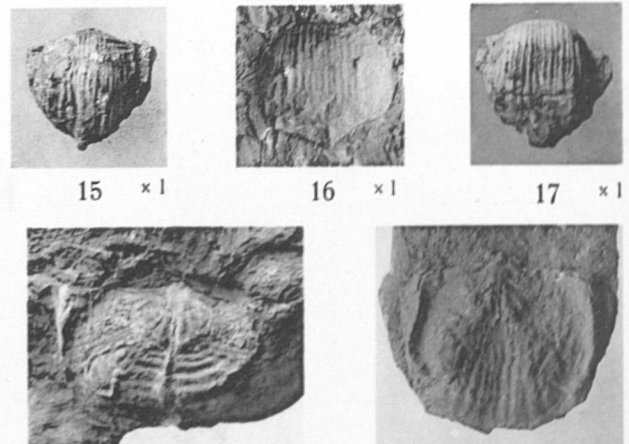
Productus (Thomasina) aff. margaritaceus Phill.



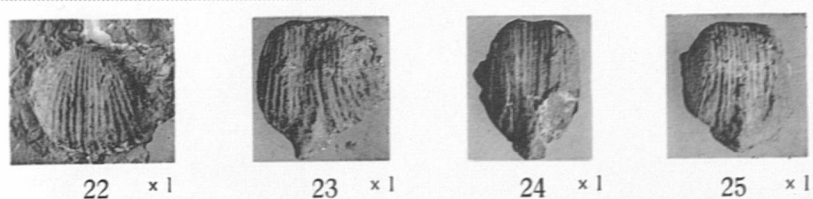
Productus (Buxtonia) scabriculus Martin.



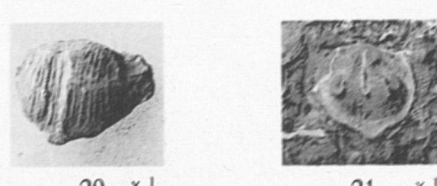
Productus (Echinoconchus) defensus (Thomas).



Productus (Echinoconchus) defensus (Thomas).



Productus (Eomarginifera) setosus Pill.



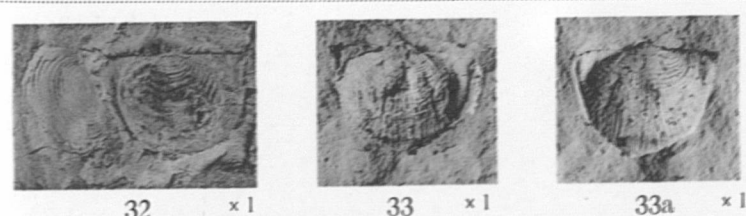
Productus (Eomarginifera) tissingtonensis Sibly.



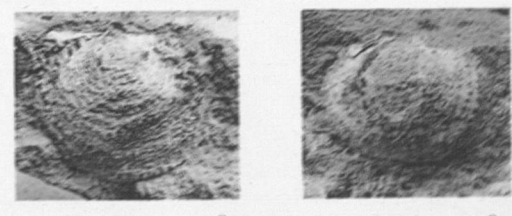
Productus (Eomarginifera) sudeticus Paeck.



Productus (Eomarginifera) frechi Paeck.



Productus (Eomarginifera) frechi peracutus nov. var.



Productus (Krotovia) spinulosus Sow.

EXPLICATION DE LA PLANCHE VIII

Pages

<p>FIG. 1 et 2. — <i>Productus (Gigantella) latissimus</i> Sowerby</p> <p>1. Grande valve, deux épines conservées au bord frontal, $\times 1$.</p> <p>2. Grande valve, test plissé, $\times 1$.</p> <p>1 et 2. <i>V3c</i> inférieur, Pl. Yvoir 2657.</p> <p>FIG. 3 à 5. — <i>Productus (Gigantella) latissimus priscus</i> (Sarytcheff)</p> <p>3. Grande valve, épines conservées dans le sédiment incrustant la moitié gauche du bord frontal, $\times 1$. <i>V3c</i> inférieur, Pl. Bioul 1.</p> <p>4. Grande valve, montrant en partie le test et en partie le moule interne, $\times 1$. <i>V3c</i> inférieur, Pl. Yvoir 2657.</p> <p>5. Jeune individu, $\times 1$. <i>V3c</i> inférieur, Pl. Yvoir 2657.</p> <p>FIG. 6 et 7. — <i>Productus (Gigantella) latissimus complicatus</i> Bisat</p> <p>Spécimens fragmentaires de grande valve, $\times 1$. <i>V3c</i> inférieur, Pl. Yvoir 2657.</p> <p>FIG. 8. — <i>Productus (Gigantella) bisati</i> Paeckelmann</p> <p>Grande valve incomplète, $\times 1$. <i>V3c</i> inférieur, Pl. Yvoir 2657.</p> <p>FIG. 9 à 16. — <i>Leiorhynchus carboniferus polypleurus</i> Girty</p> <p>9 à 14. Valves ventrales, $\times 1$. <i>V3c</i> supérieur, Pl. Bioul 2.</p> <p>15. Moule interne d'un spécimen complet montrant spécialement l'impression du septum médian de la valve dorsale, $\times 3$. <i>V3c</i> supérieur, Pl. Bioul 4.</p> <p>16. Moule interne d'un autre spécimen complet montrant spécialement le champ musculaire de la valve ventrale, $\times 3$. <i>V3c</i> supérieur, Pl. Bioul 4.</p> <p>FIG. 17 à 19. — <i>Spirifer bisulcatus</i> Sowerby</p> <p>Valves ventrales montrant les divisions des plis du sinus, $\times 1$. <i>V3c</i> inférieur, Pl. Yvoir 2657.</p> <p>FIG. 20 à 22. — <i>Spirifer bisulcatus oystermouthensis</i> Vaughan</p> <p>20 et 21. Valves ventrales, $\times 1$.</p> <p>22. Valve dorsale, $\times 1$.</p> <p>20 à 22. <i>V3c</i> inférieur, Pl. Yvoir 2657.</p>	<p>80</p> <p>81</p> <p>82</p> <p>82</p> <p>83</p> <p>88</p> <p>91</p>
--	---

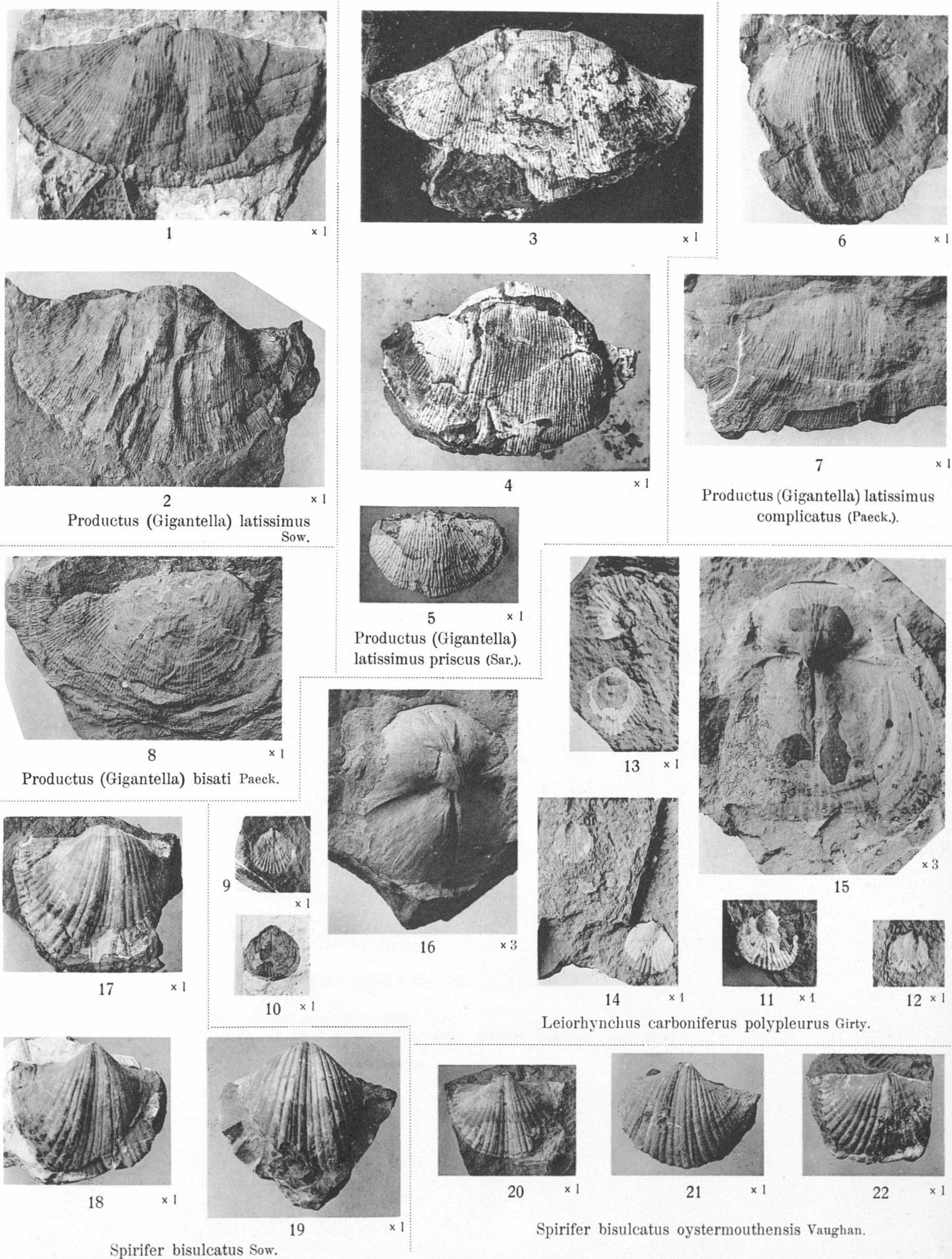


PLANCHE IX

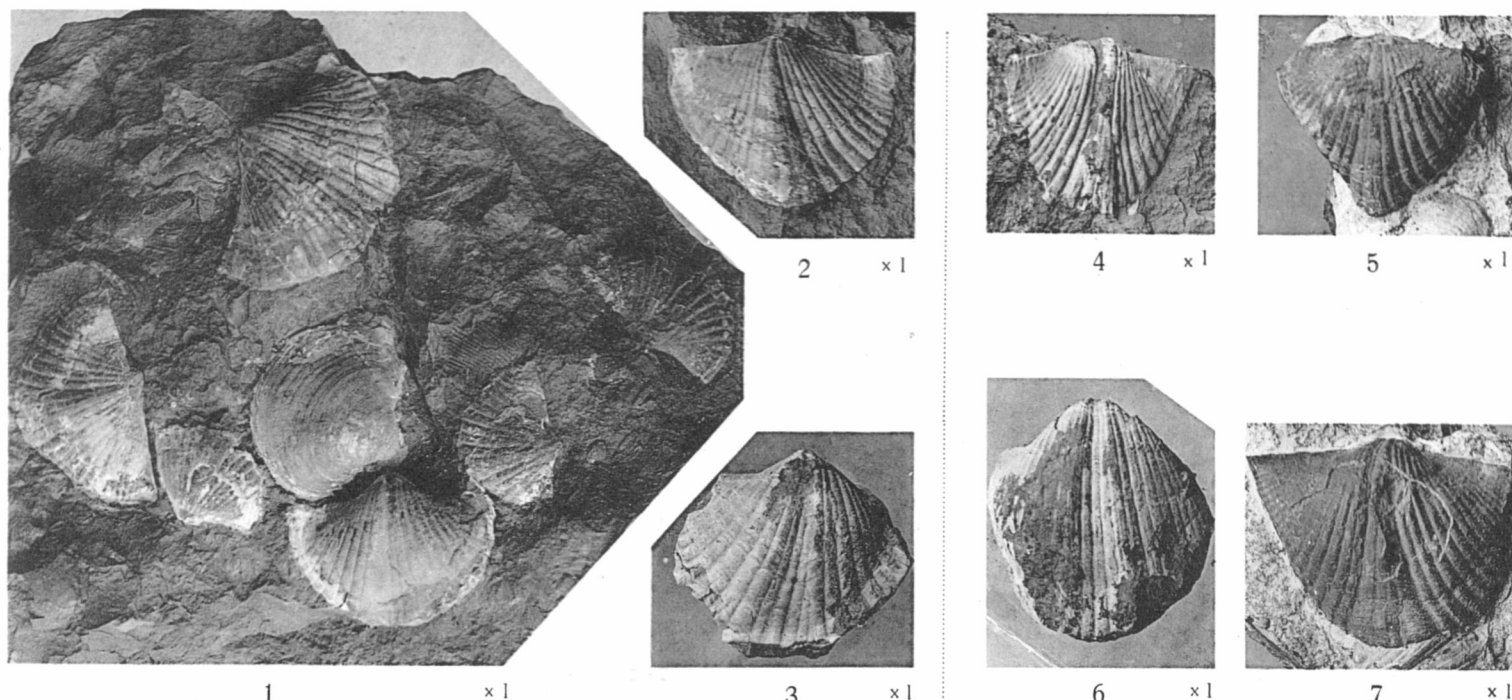
EXPLICATION DE LA PLANCHE IX

Pages.

<p>FIG. 1 à 3. — <i>Spirifer bisulcatus oystermouthensis</i> Vaughan</p> <p>1. Plaque portant plusieurs échantillons de valves ventrale et dorsale, ainsi qu'un <i>Phricodothyris tripustulosa</i> nov. sp., $\times 1$.</p> <p>2. Valve dorsale détachée du même bloc, $\times 1$.</p> <p>1 et 2. <i>V3c</i> inférieur, Pl. Yvoir 2657.</p> <p>3. Valve ventrale, $\times 1$.</p> <p><i>V3c</i> inférieur, Pl. Bioul 18.</p>	<p style="text-align: right;">91</p>
<p>FIG. 4 à 7. — <i>Spirifer bisulcatus trigonaliformis</i> nov. var.</p> <p>4, 5, 7. Valves dorsales, $\times 1$.</p> <p>6. Valve ventrale, $\times 1$.</p> <p><i>V3c</i> inférieur, Pl. Yvoir 2657.</p>	<p style="text-align: right;">93</p>
<p>FIG. 8 à 10. — <i>Spirifer bisulcatus calcaratus</i> Mac Coy</p> <p>8 et 9. Valves ventrales, montrant leurs extrémités cardinales pointues, $\times 1$.</p> <p>8. <i>V3c</i> inférieur, Pl. Yvoir 2657.</p> <p>9. <i>V3c</i> inférieur, Pl. Bioul 1.</p> <p>10. Valve dorsale, $\times 1$.</p> <p><i>V3c</i> inférieur, Pl. Bioul 1.</p>	<p style="text-align: right;">92</p>
<p>FIG. 11 à 15. — <i>Phricodothyris tripustulosa</i> nov. sp.</p> <p>11. Valve ventrale, $\times 1$ et <i>Chonetes dalmanianus</i> DE KON., $\times 1$.</p> <p><i>V3c</i> inférieur, Pl. Bioul 1.</p> <p>12 et 13. Valves ventrales, test partiellement enlevé, $\times 1$.</p> <p><i>V3c</i> inférieur, Pl. Bioul 1.</p> <p>14. Valve ventrale, $\times 1$.</p> <p><i>V3c</i> inférieur, Pl. Bioul 2.</p> <p>15. Valve ventrale, $\times 1$.</p> <p><i>V3c</i> inférieur, Pl. Yvoir 2657.</p>	<p style="text-align: right;">95</p>
<p>FIG. 16 à 18. — <i>Phricodothyris monopustulosa</i> nov. sp.</p> <p>16 et 18. Valves ventrales, $\times 1$.</p> <p>17. Empreinte externe d'un autre individu, $\times 1$.</p> <p><i>V3c</i> inférieur, Pl. Yvoir 2657.</p>	<p style="text-align: right;">97</p>
<p>FIG. 19 à 20. — <i>Phricodothyris georgei</i> nov. sp.</p> <p>19. Valve ventrale, $\times 1$.</p> <p>19a. Empreinte externe de la même, $\times 1$.</p> <p>20. Partie de valve ventrale d'un autre individu montrant l'ornementation, $\times 10$.</p> <p><i>V3c</i> supérieur, Pl. Bioul 4.</p>	<p style="text-align: right;">98</p>

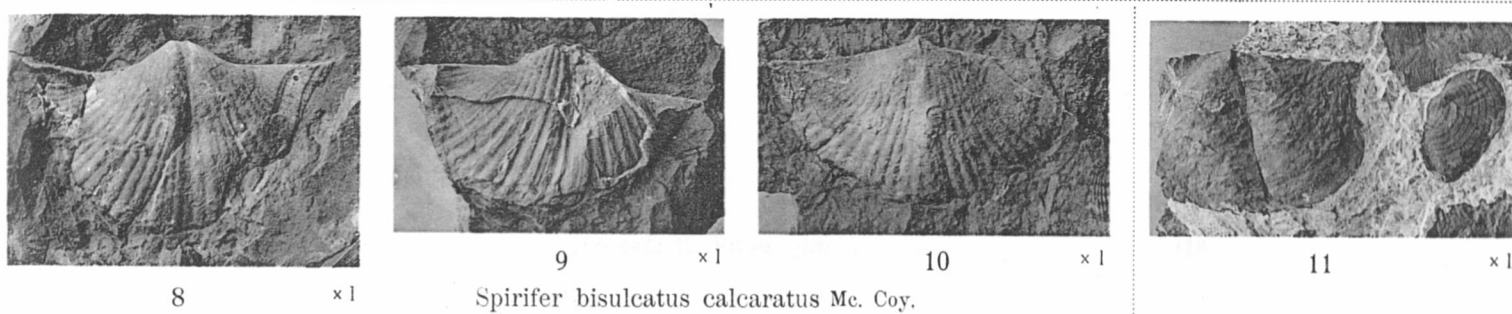
Pages.

FIG. 21 à 23. — <i>Crurithyris amoena</i> George	100
21. Moule interne d'un individu complet ouvert, $\times 1$.	
22. Moule interne de valve dorsale, $\times 1$.	
21 et 22. <i>V3c</i> supérieur, Pl. Bioul 17.	
23. Moules internes de deux valves dorsales plates, montrant les traces des plaques crurales et un moule interne de valve ventrale bombée, $\times 1$. <i>V3c</i> supérieur, Pl. Bioul 4.	
FIG. 24 à 29. — <i>Martinia</i> aff. <i>glabra</i> (Martin)	103
24 à 27. Moules internes de valve ventrale montrant les impressions musculaires et vasculaires (27 montrant aussi les impressions ovariennes), $\times 1$.	
<i>V3c</i> supérieur 24 et 25, Pl. Bioul 5.	
26 et 27, Pl. Bioul 4.	
28 et 29. Moules internes de valve dorsale, $\times 1$.	
<i>V3c</i> supérieur, Pl. Bioul 4.	
FIG. 30 à 32. — Cf. <i>Actinoconchus planosulcatus</i> (Phillips)	109
30. Valve ventrale montrant les traces d'une frange au bord marginal, $\times 1$. <i>V3c</i> inférieur, Pl. Yvoir 2657.	
31. Valve ventrale, $\times 1$. <i>V3c</i> inférieur, Pl. Yvoir 2657.	
32. Individu bivalve mais incomplet, vu du côté de la valve dorsale, $\times 1$. <i>V3c</i> inférieur, Pl. Yvoir 2657.	
FIG. 33. — <i>Cleiothyridina</i> aff. <i>globularis</i> (Phillips)	106
Valve ventrale, $\times 1$.	
<i>V3c</i> inférieur, Pl. Bioul 5.	

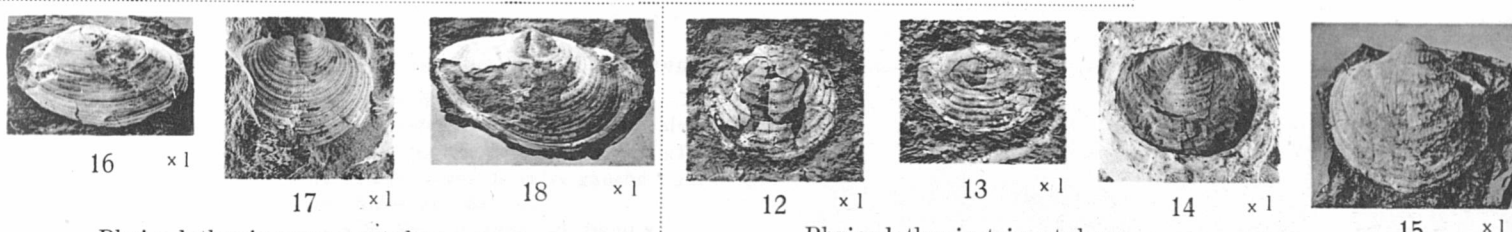


Spirifer bisulcatus oystermouthensis Vaughan.

Spirifer bisulcatus trigonaliformis nov. var.

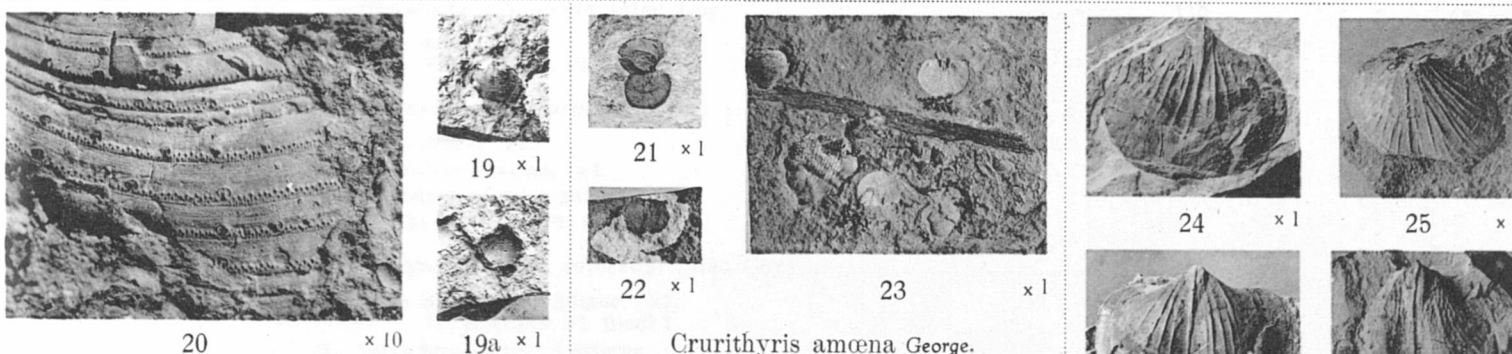


Spirifer bisulcatus calcaratus Mc. Coy.



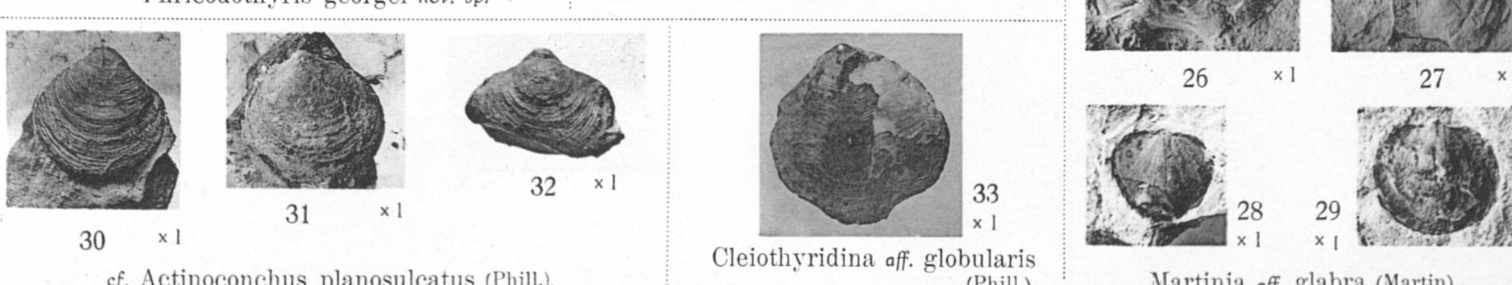
Phricodothyris monopustulosa nov. sp.

Phricodothyris tripustulosa nov. sp.



Phricodothyris georgei nov. sp.

Crurithyris amoena George.



cf. Actinoconchus planosulcatus (Phill.).

Cleiothyridina aff. *globularis* (Phill.).

Martinia aff. *glabra* (Martin).

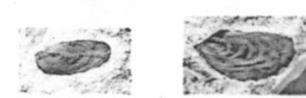
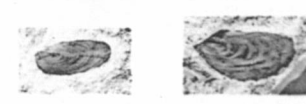
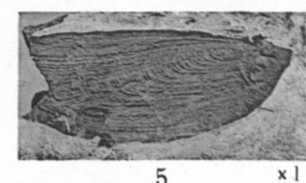
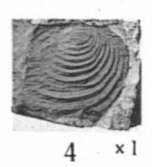
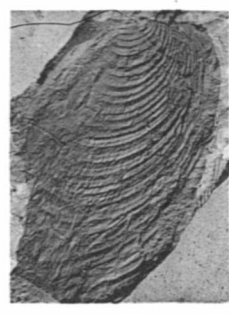
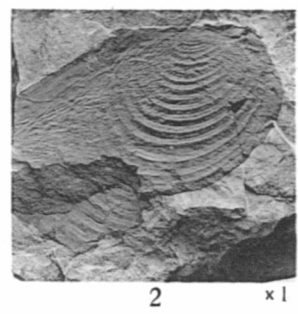
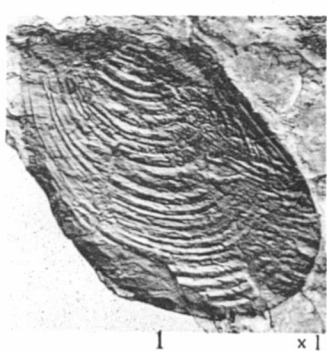
PLANCHE X

EXPLICATION DE LA PLANCHE X

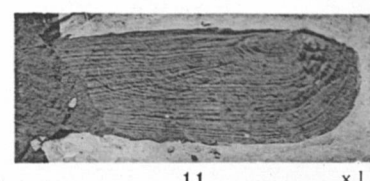
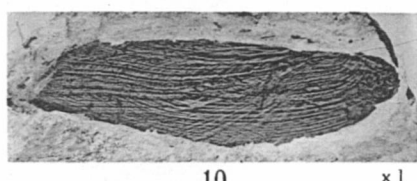
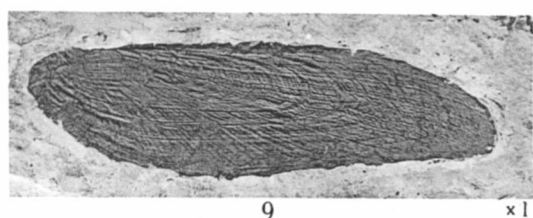
Pages.

FIG. 1 à 4. — <i>Posidonomya becheri</i> Brown	111
1. Valve gauche, $\times 1$.	
2, 3, 4. Valves droites, $\times 1$.	
1 à 4. $V3c$ inférieur, Pl. Bioul 1.	
FIG. 5 à 11. — <i>Posidonomya membranacea</i> Mac Coy	113
5. Valve droite, $\times 1$.	
$V3c$ supérieur, Pl. Bioul 4.	
6, 7, 8. Valves gauches, $\times 1$.	
$V3c$ supérieur, Pl. Bioul 2.	
9. Moule interne de valve droite, $\times 1$.	
$V3c$ supérieur, Pl. Bioul 2.	
10. Moule interne de valve gauche, $\times 1$.	
$V3c$ supérieur, Pl. Bioul 2.	
11. Valve droite, $\times 1$.	
$V3c$ supérieur, Pl. Bioul 4.	
FIG. 12 et 13. — <i>Posidonomya corrugata</i> R. Ether, jun.	116
12. Valves gauches, $\times 1$.	
$V3c$ supérieur, Pl. Bioul 2.	
13. Valve droite et valve gauche, $\times 1$.	
$V3c$ supérieur, Pl. Bioul 2.	
FIG. 14 à 18. — <i>Posidonomya</i> aff. <i>wapanuckensis</i> Girty	117
14. Valve droite, $\times 1$.	
15. Individu montrant les deux valves étalées, $\times 1$.	
16. Face interne de valve droite, $\times 1$.	
17. Face interne de valve gauche, $\times 1$.	
18. Valve gauche, $\times 1$.	
14 à 18. $V3c$ supérieur, Pl. Bioul 2.	
FIG. 19. — <i>Actinopteria persulcata</i> (Mac Coy)	118
Valve droite, $\times 1$.	
$V3c$ inférieur, Pl. Bioul 1.	
FIG. 20 à 23. — <i>Posidoniella laevis</i> (Brown)	120
20. Valve droite, $\times 1$.	
21 et 22. Valves gauches, $\times 1$.	
23. Empreinte de valve gauche, $\times 1$.	
20 à 23. $V3c$ supérieur, Pl. Bioul 2.	
FIG. 24 à 32. — <i>Syncyclonema sowerbyi</i> (Mac Coy)	122
24. Valve gauche, face interne, $\times 1$.	
$V3c$ inférieur, Pl. Bioul 1.	
25. Valve gauche, moule externe, $\times 1$.	
$V3c$ inférieur, Pl. Bioul 1	

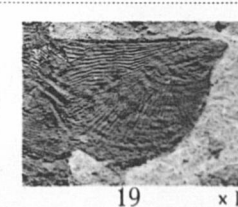
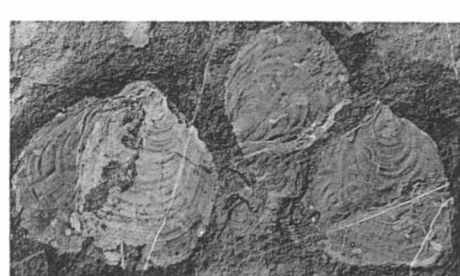
26. Valve gauche, moule externe, $\times 1$. <i>V3c</i> inférieur, Pl. Bioul 1.	
27. Valve droite ridée, $\times 1$. <i>V3c</i> inférieur, Pl. Bioul 1.	
28. Valve droite ridée, $\times 1$. <i>V3c</i> inférieur, Pl. Bioul 1.	
29. Valve gauche, moule externe, $\times 1$. <i>V3c</i> inférieur, Pl. Bioul 1.	
30. Valve droite ridée, $\times 1$. <i>V3c</i> inférieur, Pl. Bioul 2.	
31. Valve gauche, moule interne, $\times 1$. <i>V3c</i> inférieur, Pl. Bioul 1.	
32. Valve gauche, face externe, $\times 1$. <i>V3c</i> inférieur, Pl. Bioul 2.	
 FIG. 33 à 35. — <i>Pseudamusium ellipticum</i> (Phillips)	126
33. Valve gauche, $\times 1$. <i>V3c</i> inférieur, Pl. Bioul 1.	
34 et 35. Valves droites, $\times 1$. <i>V3c</i> inférieur, Pl. Bioul 1.	
 FIG. 36 à 39. — <i>Pseudamusium sublobatum</i> (Phillips)	127
36. Valve droite montrant des traces de bandes colorées, $\times 1$. <i>V3c</i> inférieur, Pl. Bioul 1.	
37. Valve droite, empreinte externe, avec traces de couleur, $\times 1$. <i>V3c</i> inférieur, Pl. Bioul 1.	
38. Valve gauche, avec traces de couleur, $\times 1$. <i>V3c</i> inférieur, Pl. Yvoir 2657.	
39. Échantillon montrant les deux valves étalées, $\times 1$. <i>V3c</i> inférieur, Pl. Yvoir 2657.	
 FIG. 40 à 44. — <i>Aviculopecten interstitialis</i> (Phillips)	128
40. Valve gauche, empreinte externe, $\times 1$. <i>V3c</i> inférieur, Pl. Bioul 2.	
41. Valve gauche, empreinte externe, $\times 1$. <i>V3c</i> inférieur, Pl. Bioul 1.	
42. Valve droite, empreinte externe, $\times 1$. <i>V3c</i> inférieur, Pl. Bioul 1.	
43. Valve gauche, empreinte externe, $\times 1$. <i>V3c</i> inférieur, Pl. Bioul 1.	
44. Valve gauche, empreinte externe, $\times 1$. <i>V3c</i> inférieur, Pl. Bioul 1.	
 FIG. 45. — <i>Aviculopecten murchisoni</i> (Mac Coy)	129
Valve gauche, $\times 1$. <i>V3c</i> inférieur, Pl. Bioul 1.	
 FIG. 46 à 49. — <i>Aviculopecten losseni</i> (von Koenen)	130
46. Valve gauche, $\times 1$. <i>V3c</i> supérieur, Pl. Bioul 2.	
47. Individu montrant les deux valves légèrement déplacées, $\times 1$. <i>V3c</i> supérieur, Pl. Bioul 2.	
48. Valve droite, $\times 1$. <i>V3c</i> supérieur, Pl. Bioul 4.	
49. Individu montrant les deux valves légèrement déplacées, $\times 1$. <i>V3c</i> supérieur, Pl. Bioul 2.	



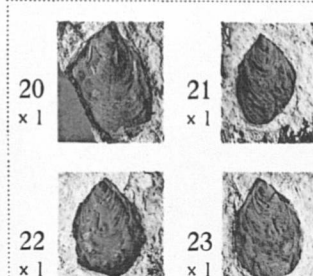
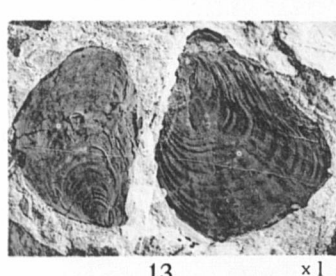
Posidonomya becheri Brown.



Posidonomya membranacea Mac Coy.



Actinopteria persulcata (Mc. Coy).



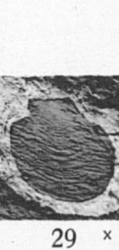
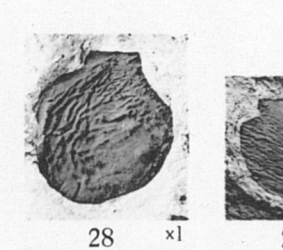
Posidonomya corrugata
R. Ether. jun.



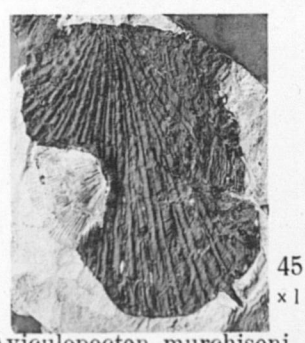
Posidoniella laevis
(Brown).



Pseudamusium ellipticum
(Phill.).

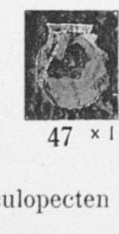
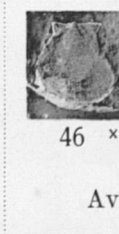
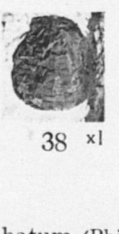
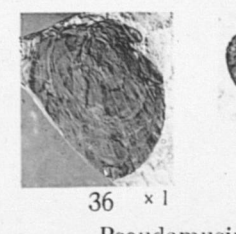


Syncyclonema sowerbyi (Mc. Coy).



Aviculopecten interstitialis (Phill.).

Aviculopecten murchisoni
(Mc. Coy).



Aviculopecten losseni (von Koenen).

F. DEMANET. — Faune des couches de passage du Dinantien au Namurien.

EXPLICATION DE LA PLANCHE XI

Pages.

FIG. 1 à 4. — <i>Gosseletina grayvillensis</i> (Nordw. et Pratt.)	132
Spécimens montrant la carène, $\times 3$.	
<i>V3c</i> supérieur, Pl. Bioul 4.	
FIG. 5 à 8. — <i>Coleolus namurcensis</i> nov. sp.	135
Spécimens aplatis, $\times 2$.	
<i>V3c</i> supérieur, Pl. Bioul 4.	
FIG. 9 à 13. — <i>Orthoceras calamus</i> De Koninck	138
9. Spécimen aplati, moule interne, $\times 2$.	
<i>V3c</i> supérieur, Pl. Bioul 4.	
10. Spécimen non aplati, $\times 2$.	
<i>V3c</i> supérieur, Pl. Bioul 4.	
11. Moule interne, $\times 2$.	
<i>V3c</i> supérieur, Pl. Bioul 5.	
12. Moule interne, $\times 2$.	
<i>V3c</i> supérieur, Pl. Bioul 4.	
13. Spécimen aplati montrant le siphon, $\times 2$.	
<i>V3c</i> supérieur, Pl. Bioul 4.	
FIG. 14 à 17. — <i>Protocycloceras boltoni</i> nov. sp.	139
14, 15, 16, 17. Moules internes, 14 très déformé, $\times 2$.	
14, 15, 16. <i>V3c</i> supérieur, Pl. Bioul 4.	
17. <i>V3c</i> supérieur, Pl. Bioul 17.	
FIG. 18. — <i>Orthoceras</i> sp. $\times 2$	139
Cloison montrant le siphon.	
<i>V3c</i> supérieur, Pl. Bioul 4.	
FIG. 19 et 20. — <i>Stroboceras sulcatum</i> (Sowerby)	140
19. Exemplaire aplati, $\times 2$.	
<i>V3c</i> supérieur, Pl. Bioul 17.	
20. Moule interne montrant les cloisons, $\times 2$.	
<i>V3c</i> supérieur, Pl. Bioul 16.	



1 $\times 3$



2 $\times 3$



3 $\times 3$

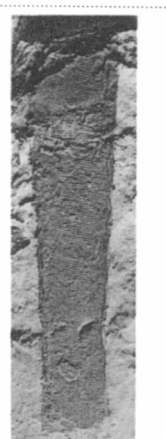


4 $\times 3$

Gosseletina grayvillensis (Nordw. et Pratt.).



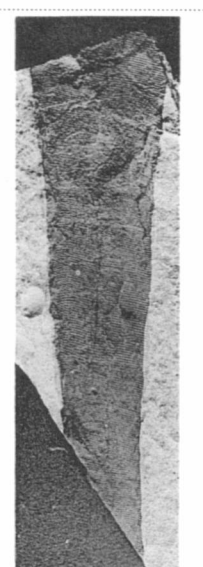
5 $\times 2$



6 $\times 2$

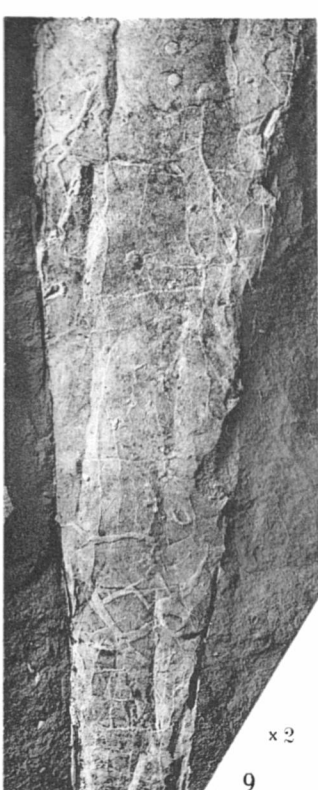


7 $\times 2$



8 $\times 2$

Coleolus namurcensis nov. sp.



9



10



11 $\times 2$

Orthoceras calamus De Kon.



16 $\times 2$



15 $\times 2$



14
 $\times 2$

Protocycloceras boltoni nov. sp.

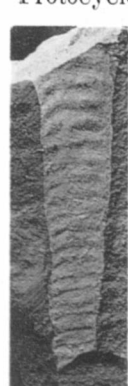


13
 $\times 2$

12 $\times 2$



20 $\times 2$



17
 $\times 2$



18 $\times 2$
Orthoceras sp.



19 $\times 2$
Stroboceras sulcatum (Sow.).



20 $\times 2$

F. DEMANET. — Faune des couches de passage du Dinantien au Namurien.

EXPLICATION DE LA PLANCHE XII

Pages.

FIG. 1, 1a, 2 et 2a. — <i>Coelonautilus quadratus</i> (Fleming)	142
1. Spécimen montrant la face ventrale, $\times 3$.	
1a. Le même, flanc, $\times 1$.	
<i>V3c</i> supérieur, Pl. Bioul 4.	
2. Autre spécimen, empreinte externe, $\times 3$.	
2a. Le même, moule interne montrant des cloisons.	
1 et 2. <i>V3c</i> supérieur, Pl. Bioul 4.	
FIG. 3 à 5. — <i>Thrinoceras hibernicum</i> (Foord)	143
3 et 4. Échantillons adultes montrant l'ornementation du flanc, $\times 1$.	
5. Morceau d'un autre spécimen, figuré pour comparaison avec <i>Goniatites granosus</i> PORTL., $\times 1$.	
3, 4, 5. <i>V3c</i> supérieur, Pl. Bioul 4.	
FIG. 6. — <i>Discitoceras leveilleeanum</i> (De Koninck)	145
Moule interne montrant des cloisons, $\times 1$.	
<i>V3c</i> supérieur, Pl. Bioul 4.	
FIG. 7, 7a, 7b. — <i>Goniatites striatus</i> Sowerby	146
7. Flanc, $\times 1$.	
7a. Face ventrale, $\times 1$.	
7b. Face ventrale et cloisons, $\times 1$.	
<i>V3c</i> inférieur, Pl. Bioul 5.	
FIG. 8 à 11. — <i>Goniatites spiralis</i> Phillips	147
8, 9, 10. Individus fragmentaires montrant le flanc et l'ombilic, $\times 3$.	
8. <i>V3c</i> supérieur, Pl. Bioul 4.	
9. <i>V3c</i> supérieur, Pl. Bioul 2.	
10. <i>V3c</i> supérieur, Pl. Bioul 22354.	
11. Fragment montrant l'ornementation, $\times 3$.	
<i>V3c</i> supérieur, Pl. Bioul 17.	
FIG. 12 et 12a. — <i>Goniatites granosus</i> Portlock	149
12. Individu montrant le flanc, $\times 1$.	
12a. Le même, détails de l'ornementation, $\times 3$.	
<i>V3c</i> supérieur, Pl. Bioul 4.	





Cœlonautilus quadratus (Fleming).
(De Kon.).

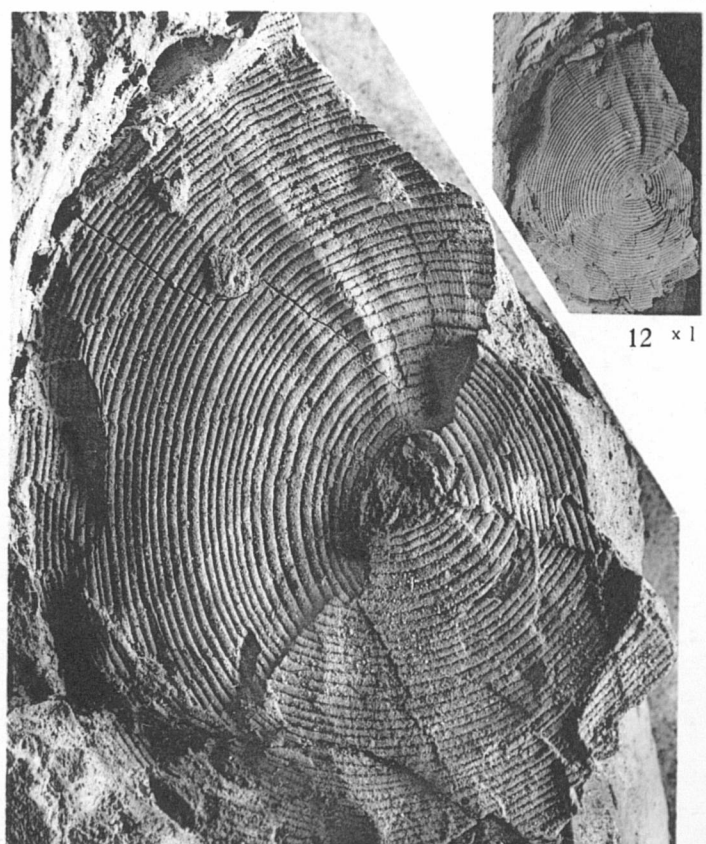


Thrincooceras hibernicum (Foord).

7a
 $\times 1$

7b
 $\times 1$

Goniatites striatus Sow.



Goniatites spiralis Phill.

Goniatites granosus Portlock.

10 $\times 3$

F. DEMANET. — Faune des couches de passage du Dinantien au Namurien.

EXPLICATION DE LA PLANCHE XIII

Pages.

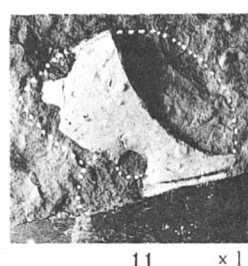
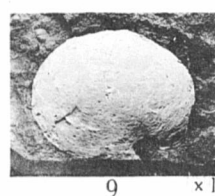
<p>FIG. 1 et 2. — <i>Goniatites subcircularis</i> Miller</p> <p>1. Face latérale, $\times 1$. <i>V3c</i> supérieur, Pl. Bioul 2.</p> <p>2. Face latérale fragmentaire d'un autre individu, $\times 2$. <i>V3c</i> supérieur, Pl. Bioul 17.</p> <p>FIG. 3 à 5. — <i>Goniatites newsoni</i> Smith</p> <p>3 et 4. Spécimens écrasés, face latérale, $\times 2$. <i>V3c</i> supérieur, Pl. Bioul 2.</p> <p>5. Spécimen non écrasé, face latérale, $\times 3$. <i>V3c</i> supérieur, Pl. Bioul 4.</p> <p>FIG. 6 à 11. — <i>Sudeticeras</i> aff. <i>stolbergi</i> Patteisky</p> <p>6. Moule interne, $\times 1$. <i>V3c</i> supérieur, Pl. Bioul 22354.</p> <p>7. Spécimen fragmentaire, $\times 1$. <i>V3c</i> supérieur, Pl. Bioul 4.</p> <p>8. Spécimen montrant l'ornementation, $\times 3$. <i>V3c</i> supérieur, Pl. Bioul 22354.</p> <p>9, 10, 11. Moules internes, $\times 1$. <i>V3c</i> supérieur, Pl. Bioul 4.</p> <p>FIG. 12 à 16. — <i>Griffithides maillieuxi</i> nov. sp.</p> <p>12. Un individu complet et un pygidium, $\times 1$.</p> <p>13. Céphalon avec longues pointes génales et empreinte d'un pygidium d'un autre individu, $\times 1$.</p> <p>14 et 15. Empreintes externes de deux individus complets, $\times 1$.</p> <p>16. Hypostome, moule interne, $\times 4$.</p> <p>16a. Empreinte externe du même, montrant l'ornementation, $\times 4$.</p> <p>12 à 16. <i>V3c</i> supérieur, Pl. Bioul 5.</p> <p>FIG. 17 à 23. — <i>Griffithides</i> aff. <i>shunnerensis</i> King</p> <p>17 et 18. Portions de céphalon et pointe génale, $\times 3$.</p> <p>19. Glabelle, $\times 3$.</p> <p>20, 21 et 23, Pygidium, $\times 3$.</p> <p>22. Thorax et pygidium, $\times 3$.</p> <p>17 à 23. <i>V3c</i> inférieur, Pl. Bioul 1.</p>	<p style="margin-bottom: 10px;">150</p> <p style="margin-bottom: 10px;">151</p> <p style="margin-bottom: 10px;">153</p> <p style="margin-bottom: 10px;">156</p> <p style="margin-bottom: 10px;">158</p>
---	---



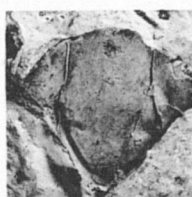
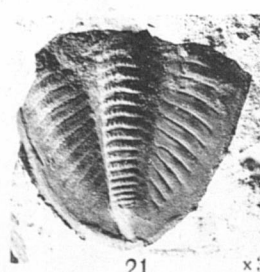
Goniatites subcircularis Miller.



Goniatites newsomi Smith.



Sudeticeras aff. stolbergi Patteisky.



Griffithides maillieuxi nov. sp.

Griffithides aff. shunnerensis King.

F. DEMANET. — Faune des couches de passage du Dinantien au Namurien.

EXPLICATION DE LA PLANCHE XIV

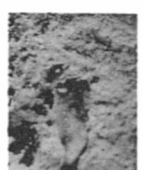
	Pages.
FIG. 1 à 14. — Divers <i>Conodonts</i> rapportés à <i>Gnathodus integer</i> Schmidt	161
1, 2, 3, 4. <i>Gnathodus</i> PANDER, $\times 10$	161
1, 2, 3. Demi-mandibules.	
4. Mandibule complète, dont une branche bien visible.	
1 à 4. <i>V3c</i> supérieur, Pl. Bioul 22354.	
5, 6, 7. <i>Bryantodus</i> ULRICH et BASSLER	161
Dents sur l'arc hyoïdien, $\times 10$.	
5 et 7. <i>V3c</i> supérieur, Pl. Bioul 22354.	
6. <i>V3c</i> supérieur, Pl. Bioul 4.	
 FIG. 8 à 11. — <i>Synprioniodina</i> cf. <i>simplex</i> (Pander)	162
Premier arc branchial avec peigne, $\times 10$.	
8, 9 et 11. <i>V3c</i> supérieur, Pl. Bioul 22354.	
10. <i>V3c</i> supérieur, Pl. Bioul 17.	
 FIG. 12 à 14. — <i>Hindeodella lineata</i> (Pander)	162
2 ^e et 5 ^e arc branchial avec peigne, $\times 10$.	
12. Deux grands spécimens croisés d' <i>Hindeodella lineata</i> , et deux spécimens séparés de <i>Bryantodus</i> , $\times 10$.	
<i>V3c</i> supérieur, Pl. Bioul 17.	
13. Un spécimen d' <i>Hindeodella lineata</i> , $\times 10$.	
<i>V3c</i> supérieur, Pl. Bioul 22354.	
14. Plusieurs <i>Hindeodella lineata</i> , $\times 10$.	
<i>V3c</i> supérieur, Pl. Bioul 17.	
 FIG. 15 à 19. — <i>Listracanthus hystrix</i> Newberry et Worthen	163
15. Epine, $\times 2$.	
16 à 18. Epines, $\times 1$.	
19. Plaque indéterminée, $\times 2$.	
15, 16, 17, 18. <i>V3c</i> supérieur, Pl. Bioul 4.	
19. <i>V3c</i> supérieur, Pl. Bioul 22354.	
 FIG. 20 à 24. — <i>Coelacanthus</i> aff. <i>stensiöi</i> Aldinger	166
20 et 21. Os urohyales, $\times 1$.	
<i>V3c</i> supérieur, Pl. Bioul 4.	
22 et 23. Plaques jugulaires, $\times 2$.	
<i>V3c</i> supérieur, Pl. Bioul 22354.	
24. Os ptérygoïde médian, $\times 1$.	
<i>V3c</i> supérieur, Pl. Bioul 4.	



1 x 10



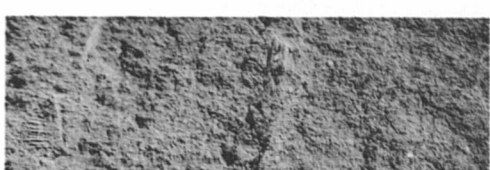
2 x 10



3 x 10



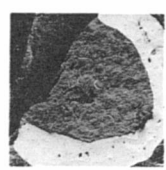
4 x 10



12 x 10



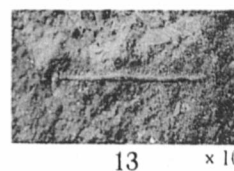
5 x 10



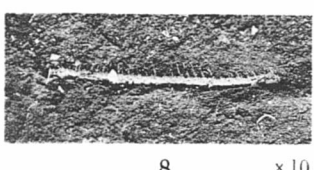
6 x 10



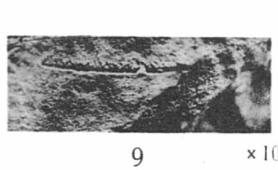
7 x 10



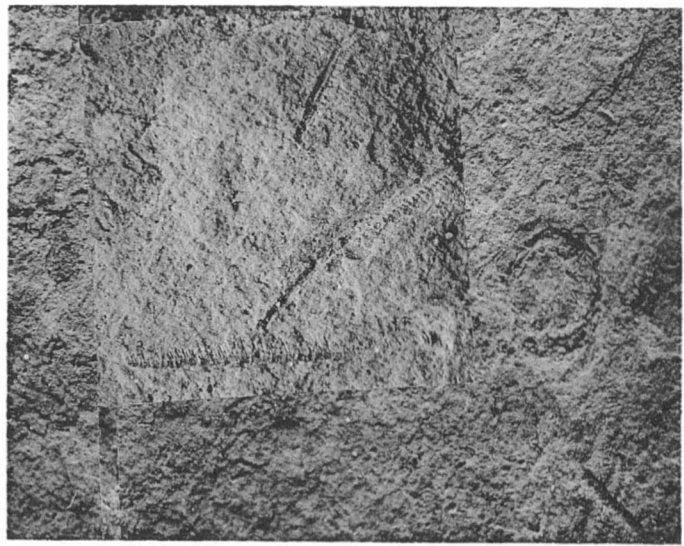
13 x 10



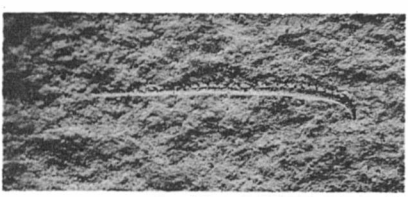
8 x 10



9 x 10



14 x 10



10 x 10



11 x 10

Hindeodella lineata (Pander).

Gnathodus integer Schmidt.



15 x 2



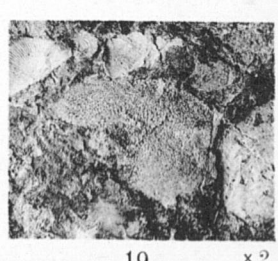
16 x 1



17 x 1



18 x 1



19 x 2

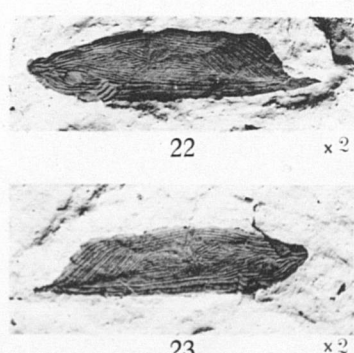
Listracanthus hystrix Newberry et Worthen.



20 x 1



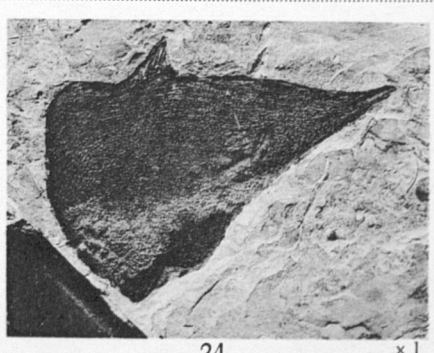
21 x 1



22 x 2



23 x 2



24 x 1

Coelacanthus aff. stensiöi Aldinger.

F. DEMANET. — Faune des couches de passage du Dinantien au Namurien.